

第7回参考触媒討論会資料

ゼオライトの物性測定

昭和59年10月1日

静岡大学工学部

主 催
触媒学会参考触媒委員会

共 催
ゼオライト研究会
触媒工業協会

目 次

はじめに (世話人代表) 松本英之	1
ゼオライト参照触媒試料	
触媒学会参考触媒委員会	2
 1. 水の吸着・脱離測定	
(近畿大・第二工) 坂本栄治	3
2. 浸漬熱の測定	
(北大工) 新田昌弘	6
3. H—モルデナイトのイオン交換特性	
(東工大工) 高原俊也, 難波征太郎, 八嶋健明	8
4. ゼオライトの外部表面積の測定	
(宇都宮大教養科) 鈴木 黙, 江連宏昌, 斎藤研一	11
5. 外表面積, 酸測定	
(日揮・衣浦研) 猪俣 誠, 山田正年, 岡田早苗	14
6. 外表面積, TPDの測定	
(名大工) 丹羽 幹	17
7. 吸着ピリジンのTPD測定	
(日石・中央技研) 牛尾 賢, 石井 武	19
8. アンモニアの吸着, 昇温脱離	
(東工大工) K. Mahos, 新山浩雄	22
9. ゼオライト触媒のクラッキング活性及びTPD試験	
(三菱重工・広島研) 今井哲也, 飯田耕三	25
10. 表面酸性度の測定とSEMによる表面観察	
(水沢化学・中条工場) 阿部 潔, 小川政英	27
11. ゼオライトのX線光電子スペクトル	
(阪大基礎工) 岡本康昭	29
12. ホウジャサイトおよびモルデナイト型ゼオライトの固体高分解能 ²⁹ SiNMRスペクトル	
(化学技術研究所) 鈴木邦夫, 林 繁信, 清住嘉道 新重光, 早水紀久子, 山本 修	32
13. 固体高分解能NMRとFT-IRの測定	
(千代田化工・総研) 中田真一, 相馬幹雄, 浅岡佐知夫	35
14. リナロールの分解反応	
(資生堂・研究所) 福井 寛, 難波隆二郎, 中野幹清	42
15. プロトン型ゼオライトによるエチレンの接触水和	
(長崎大工) 岩本正和, 田島政弘, 鹿川修一	44
16. n—ペンタンのクラッキングに対するゼオライトの触媒活性	
(早大理工) 菊地英一, 中野 博	46

はじめに

第7回参照触媒討論会 世話人代表 松本英之

参照触媒討論会も回を重ねて今回で第7回を迎えることになった。

始めアルミナからスタートした参照触媒は、シリカ、シリカ-アルミナ、ゼオライト、酸化チタンといった一般的な担体物質を加え、さらにこれらを担体として持金属系触媒までの種余り調製し、配布を希望された学会員に無償で提供してやった。ところがこれらの試料を媒介とした参照触媒討論会は毎年秋の触媒討論会が開催される前日に同じ場所で開催することを恒例としてやめた。

第1回(九大工)、第2回(東北大工)は各種のアルミナを用いた討論会であり、たゞあらためてアルミナをいろいろな測定を通じてみるといふと、一口にアルミナといつてもいろいろな側面を持つことが判り、古くは新しい問題と多くの関心を集めた。第3回(京大工)は担体効果をテーマにした物理性測定と反応との対比を行なった。第4回(東工大工)、第5回(北大工)、第6回(東工大工)は持持金属系触媒を取り上げて金属表面積の測定法をメインにした討論してやった。これも一括り成果あげることができる。その一部は今回の触媒討論会で特別発表として報告されることになつた。

今回は新たにゼオライトをテーマとして第7回参照触媒討論会が開催されることになった。ZSM-5などに刺激されて形状選択性を有する固体触媒としてのゼオライトは近年多く注目を集め되었고、1986年には第7回国際ゼオライト会議が日本で開催されることも決まっており、ゼオライト研究者の集まりであるゼオライト研究会も発足した。

ところで今回はゼオライト研究会、触媒工業協会の二協力をもつて本会を開催することとなった。先ず手始めに今回は各自がいよいよ得意とする測定や反応をやっていただけ、それと並んであわせてゼオライト研究に対する問題提起、すなはて次回以降への提案がなされることは期待される。

サンプルを提供していただいたメーカー、および早く本会企画に参加していただいた方々すべてに世話人を代表してお礼申し上げる。

まつもと ひごゆき

18X. 5. 30

ゼオライト参照触媒試料

触媒学会参照触媒委員会

番号		No. 1	No. 2	No. 3	No. 4	No. 5
記号		JRC-Z-Y4.8	JRC-Z-Y5.6	JRC-Z-M10	JRC-Z-M15	JRC-Z-M20
外観		粉状	粉状	粉状	粉状	粉状
化学组成	SiO ₂ wt%	62.1	76.5	84.5	86.4	
	Al ₂ O ₃ wt%	20.4	13.3	9.56	7.31	
	Na ₂ O wt%	12.4	8.0	5.9	5.0	
	Fe wt%	0.038	0.032	0.039	0.041	
	Ig. Loss wt%	2.8 ^{*1}	26.4 ^{*2}	8.0 ^{*2}	6.1 ^{*2}	6.9 ^{*2}
	SiO ₂ /Al ₂ O ₃ モル比	4.8	5.6	9.8	15.0	20.1
物性値	見掛け比重	0.38	0.43	0.44	0.40	0.44
	比表面積(m ² /g)	670	870	373	426	399
	細孔容積(m ³ /g)	0.35	0.36	0.15	0.15	0.14
製造法		水溶液、ミリカソル アラジン酸ナトリウム とす。	SiO ₂ , Al ₂ O ₃ , Na ₂ O 溶液、アラジン酸ナトリウム とす。合成後熟成処理 と行なう。	SiO ₂ 溶、Al ₂ O ₃ 溶、Na ₂ O溶正原料と之水熱合 成する。SiO ₂ /Al ₂ O ₃ 比の調整は合成条件に付す。 熟成処理等脱水化等は行なはない。		

番号		No. 6	No. 7	No. 8	No. 9	No. 10
記号		JRC-Z-HY4.8	JRC-Z-HY5.6	JRC-Z-HM10	JRC-Z-HM15	JRC-Z-HM20
外観		粉状	粉状	粉状	粉状	粉状
化学组成	SiO ₂ wt%	75.15	72.8	83.7	88.0	91.0
	Al ₂ O ₃ wt%	24.43	22.0	14.3	10.0	7.76
	Na ₂ O wt%	0.20	3.5	0.12	0.06	0.06
	Fe wt%	0.028				
	Ig. Loss wt%	3.72 ^{*1}	3.5 ^{*2}	5.7 ^{*2}	5.4 ^{*2}	4.6 ^{*2}
	SiO ₂ /Al ₂ O ₃ モル比	5.2	5.6	9.9	14.9	19.9
物性値	見掛け比重					
	比表面積(m ² /g)	663				
	細孔容積(m ³ /g)	0.38				
製造法		JRC-Z-Y4.8(No.1) 正3回竹交換 交換率 99%	JRC-Z-Y5.6(No.2) 正2回竹交換 交換率 72%	JRC-Z-M10(No.3) 正2回竹交換 交換率 98%	JRC-Z-M15(No.4) 正2回竹交換 交換率 99%	JRC-Z-M20(No.5) 正2回竹交換 交換率 99%

*1 1,000°C - 1 hr *2 500°C - 20 min (Ig. Lossは比荷時4グラムベースで計) (Ig. Lossは比荷時4グラムベースで計)

注: ここに示した物性値は、サンプル提供メーカーからよせられたものである。

1. 水の吸着・脱離測定

(近畿大・第二工) 坂本栄治

I ゼオライトにおける吸着分子の中で最も興味あるものの一つに水がある。そこで今回、参照触媒と1つ一連のゼオライトの物理性測定をする期会を得たので、これらのゼオライトの水の吸着、脱離を測定した。そうして、水の吸着、脱離特性のM型(モルデナイト)とY型との比較、 $\text{SiO}_2/\text{Al}_2\text{O}_3$ 比の異なる試料の比較およびH型とNa型との比較を行なったので、他の物理性測定結果と比較するため測定結果を提供する。

II 水の吸着、脱離量は重量測定より求めた。重量測定はCham 2000の電気天秤を、圧測定はバラトロン真空計(MKS社製)を、また圧測定の補助にサーモカップルケージも用いた。加熱は温度制御装置付赤外線加熱炉(真空理工製)で行なった。天秤部および圧測定部は室温変化による測定値のドリフトをおさえるためにアクリル板でおおって恒温にした。また、加熱炉からの熱の天秤におよぼす影響を少なくするため、反応管と天秤部の間に冷却器を取り付けた。真空排気は液体窒素トラップを通して油拡散ポンプと回転ポンプで行ない、試料の加熱処理および昇温脱離は 10^3 torr以下で行なった。試料は参照触媒をそのまま用い、脱気時の揮散を防止するためアレス(ただけ)、1回の測定には50~100 mgを用いた。なお試料セルは白金製である。吸着分子の水は再蒸留水を十分脱気したもの用いた。

操作は真空排気しながら400まで2時間加熱処理した後、所定の温度(300℃)にセットする。つづいて、水蒸気を反応管内に逐一導入して吸着させ、重量が一定になった時点の圧と重量を測定して吸着等温線を求める。測定終了後、水蒸気压15 Torr近傍で室温までさげて試料に水を十分吸着させる。再び排気後、一定速度(50℃/分)で昇温し、重量変化がなくなる900まで近傍まで加熱し、重量変化曲線を求める。昇温速度を早くすると温度変化による重量測定の誤差が大きくなるが、50℃/分位に近くすると温度変化による重量の測定誤差は0.05 mg以内におさえることができた。

III 真空中(10^3 torr以下)で昇温速度50℃/分とゆくくりと温度を上界させた時の試料の重量変化曲線の例を図1に示す。各試料共、近温側で急激な重量減少が生じ、つづいて、試料によって持続のあるだらだらとした減少があたり、900まで近傍で恒量になる。M15(IRC-Z-M15のこと)、以下同様に各試料共IRC-Zを略す)、Y5.6のNa型は250℃近傍までに急激な減少があたり、以下直線的にわずかな減少が続き800まで近傍で恒量になる。HY5.6は最初急激な重量減少があたり、以下だらだらとした減少が続き900まで近傍で一定となる。一方、HM15は150までには急激な減少があたり、次いでゆるやかな減少が続き、400で近くから再び変

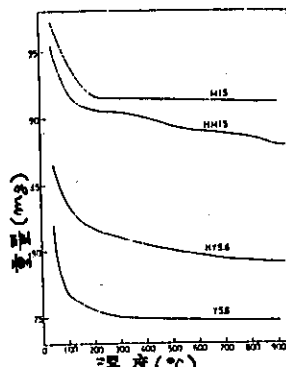


図1 重量変化曲線

化が激しくなり、温度上昇と共に 750°C 位から再度減少がおこり、 920°C 近くまで一定になる。 400°C までの重量減少は脱水によるものであるが、 400°C 以上の減少も脱水によるものと考えてよかろう。また、 400°C で2時間処理した重量と昇温時の 400°C の重量はほぼ等しかったので、この昇温脱水はほぼ平衡を保ちながら変化しているとみなしてよいだろう。これらの重量変化曲線から、 900°C 近くまで恒量になると試料1g当たりの吸着量をmmol单位で表わしたのが図2である。

図2は 900°C 近くまで重量が一定になった所をベースとしているので、試料中の物理吸着、化学吸着した水はもちろん、プロトニ、シラノール、アルミニノールなどの水としての量も含めた総吸着の真空中における温度変化を示している。ゼオライトの構造のちがい、また、同じ構造でも $\text{SiO}_4/\text{Al}_2\text{O}_3$ 比のちがいおよびH型とNa型との曲線の差がみられる。Na型は構造や $\text{SiO}_4/\text{Al}_2\text{O}_3$ 比が異なるM型も比較的曲線が類似してみる。特に 300°C 以上ではNa型の5種の曲線はほぼ重なっている。H型はM型とY型とに明らかに曲線に差異があり、Y型は温度が高くなるにつれて吸着量は漸次減少するが、M型は段階的に減少し特異な様相を呈している。同じ種類について比較するとM型、Y型共に $\text{SiO}_4/\text{Al}_2\text{O}_3$ 比の小さな試料、すなわち Al_2O_3 含有量の大きい試料ほど吸着量は大きく、吸着量と Al_2O_3 含有量に明らかに相関があることを示している。しかし、M型は 400°C 近傍より高温側ではHM10がHM15、HM20より低い温度で水が脱離している。

図2のグラフの縦軸を試料中の Al_2O_3 と水のモル比で表わしたのが図3である。HM型、HY型は 600°C まで比較的良好く曲線が重なり、また、Na型は 100°C から 200°C の間で曲線が重なる。この曲線の重なりの良い温度範囲は吸着量が試料中の Al_2O_3 含有量と比例していることを示している。図から明らかなように特にH型にM型にY型とM型の曲線に明確な差異があるのは興味深い。特にHM型の曲線が 400°C 近傍へ $\text{H}_2\text{O}/\text{Al}_2\text{O}_3$ 比が約1.5と $650^{\circ}\text{C} \sim 750^{\circ}\text{C}$ の約0.5と明らかな段階があるのは興味深く、他の物性との対比がまた水ると違うのである。

400°C で2時間真空脱气回りした試料の 300°C における吸着等温線を図4に示す。H型は 400°C で一定量の水を吸着して3mmol (Na型はほとんど吸着していない)、さらにその上で 300°C で水の蒸気圧を変えるとどの程度水が吸着するかを検討したものである。Y型はNa型、H型および $\text{SiO}_4/\text{Al}_2\text{O}_3$ 比によ

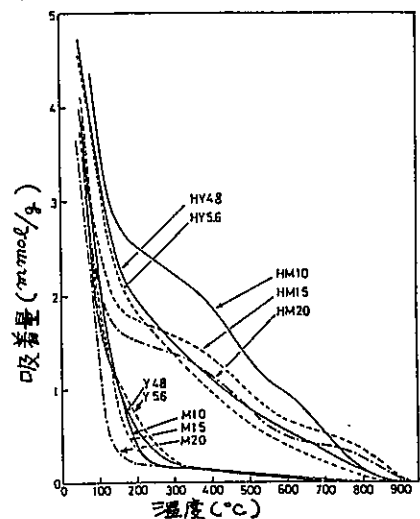


図2 吸着量の温度変化

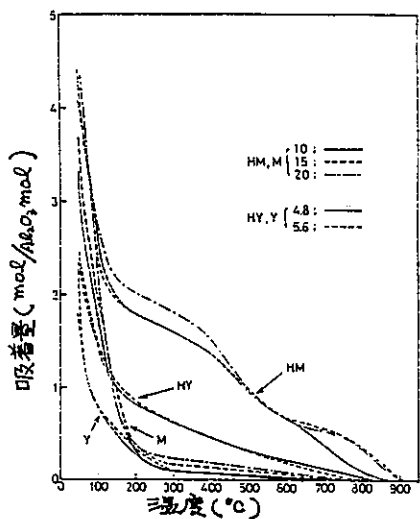


図3 $\text{Al}_2\text{O}_3/1\text{mol}$ 当りの吸着量の温度変化

あまり関係せずほぼ類似した曲線を示しているが、M型はNa型、H型および $\text{SiO}_2/\text{Al}_2\text{O}_3$ 比により大きく変動している。Na型がH型より吸着量は大きく、またNa型、H型とも Al_2O_3 含有量の大きい試料が吸着量は大きい。M型の吸着等温線をLangmuirプロットしたのが図5である。測定した水蒸気圧範囲内で比較的良く直線を表わせるが、Na型は3 torr以下の低圧側で直線からのずれが大きい。Langmuirプロットが直線となるのは吸着が均一かつ吸着分子間の相互作用が無視できるためと考えると、Na型の低圧側の直線からのずれは、吸着量が小さい領域と大きい領域との吸着点のちがいを示唆しているものと思われる。

図5の各直線の傾きから飽和吸着量を求め、図2の真空中における300°Cの吸着量をさし31%を基準にした飽和吸着量 V_m を算出して、 Al_2O_3 含有量に対してアロットしたのが図6である。Y型300°Cにおける飽和吸着量はH型、Na型共に Al_2O_3 含有量よりも1.3試料の比表面積に關係しているとみなした方がよみうる。一方、M型の飽和吸着量はH型、Na型共に Al_2O_3 含有量には比例して増加するとみなせる。飽和吸着量の順序はNaM型 > NaY型 > HM ≈ HYKなどであり、NaM型とNaH型に差があるのはM型とY型との構造のちがいがNa型の水の吸着にも反映されてることを示唆している。

以上参照試験の水の吸着・脱離特性の差異を検討した。これらの差異が他の物理測定結果と比較検討され、整合性へみる考察が得られるのは章11である。

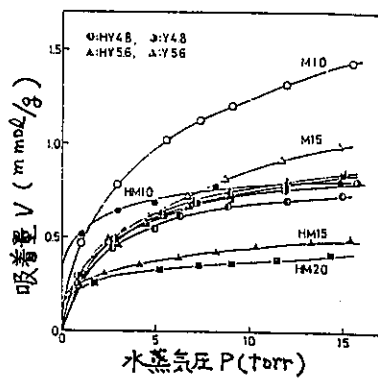


図4 吸着等温線 (300°C)

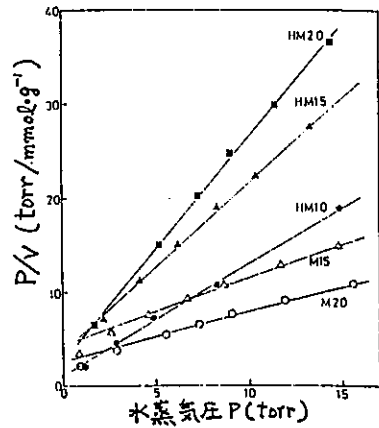
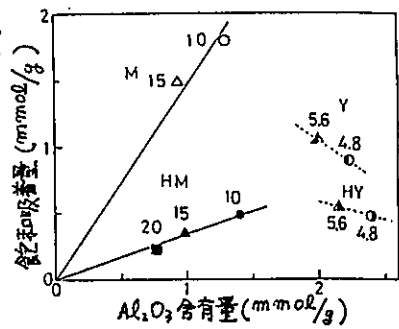


図5 Langmuir プロット

図6 Al_2O_3 含有量と飽和吸着量
との関係

2. 浸漬熱の測定

(北大工) 新田昌弘

1. はじめに

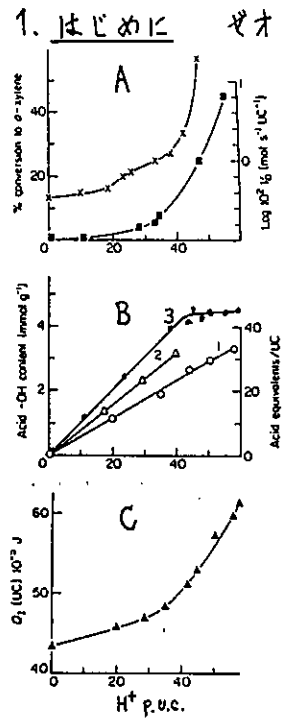


Fig. 1. NH₄Yの活性と酸性との関係¹⁾

ゼオライトの酸性と触媒活性に関する研究は数多い。しかしゼオライトの酸触媒活性をその表面酸性によって正確に説明することは必ずしも簡単ではない。一般にゼオライトの触媒活性は、Fig. 1-A と見られるように K, HNaY の場合、H⁺交換率 60% を越えるところから急激に増大する (X はイソオクタレ分解反応、■は O-キシレン異性化反応)。一方、酸性は Fig. 1-B に見られるように K, 活性に対する変化を見出せない (1 はアミン滴定法、2 は NH₃ 化学吸着量測定、3 は IR による B 酸性)。Fig. 1-C はメタノールへの浸漬熱の結果であるが、H⁺交換率 60% を過ぎると急激に増大する。これは触媒活性の変化と良く対応している。すなわち、ゼオライトの活性を理解するには酸性測定より浸漬熱測定が有利であることを意味する。したがってゼオライト物性の一つとして浸漬熱は重要であり、以下にその方法と結果を述べる。

2. 実験方法 浸漬熱測定装置は双子型恒温差熱量計（東京理工製、TIC-2D）を使用し、測定温度は 40 ± 0.03 °C である。浸漬液は N-アクリルアミンおよびセリゾンの 0.1 M ベンゼン溶液である。各試薬は活性化ゼオライト (3A) で脱水精製したものを使用した。ゼオライト試料は 16~40 mesh K 型としたものを 400°C, 10³ Pa, 3 h 处理した。試料量約 0.3 g, 浸漬液 90 mL。No. 6, 7 は No. 1, 2 を付添換（自臓）したものである。

3. 結果 浸漬熱の値は ± 3% の誤差で得られた。浸漬前後の浸漬液のアミン濃度をガスクロマトグラフにより分析し、吸着アミン量を測定した。その値を酸量の近似値と仮定し、酸点当たりの熱量を算出し、酸強度の目安としたものを Table 1 に示す。Table 1 にはまた、ゼオライト以外の参照触媒であるシリカ・アルミナおよび参照触媒でないゼオライトの ZSM-5 の測定結果も示してある。H⁺ 形の比表面積は Na⁺ 形と同一値を用いた。

HY4.8 および HY5.6 はそれぞれ H⁺ 交換率が 89% および 73% であり、参照番号 No. 6 および No. 7 とは異なるものである。

参考データの NMR 測定は東北大学非水溶液化学研究所で行われた。²⁾

引用文献

- 1) J.W. Ward et al., J. Catal., 13, 364 (1969); R. Beaumont et al., Adv. Chem. Soc., 102, 327 (1971); B. Coughlan et al., J. Chem. Tech. Biotechnol., 31, 1 (1981). 2) 8ICC, IV, 533 (1984).

にっぽんまきみ

Table 1. ゼオライトのn-ブチルアミンおよびピリジンへの浸漬熱

試料 JRC-Z-	No*	Si/Al	浸漬熱 A/10 ⁻⁵ J·cm ⁻² (吸着量 B/mmol·g ⁻¹) [A/B/kJ·site ⁻¹]		
			n-Butylamine	Pyridine	
Y-4.8	1	2.5	3.88 (2.73) [95.3]	-	-
Y-5.6	2	2.9	-	-	-
HY4.8	6	2.5	6.17 (2.59) [160]	3.11 (4.38) [52.3]	
HY5.6	7	2.9	-	3.04 (3.40) [77.8]	
M10	3	5.1	-	-	-
M15	4	7.8	2.99 (0.26) [478]	-	-
M20	5	10.5	-	-	-
HM10	8	5.3	4.89 (0.37) [487]	2.03 (1.14) [66.4]	
HM15	9	7.6	3.58 (0.99) [154]	1.89 (1.31) [61.4]	
HM20	10	10.0	2.49 (0.96) [103]	1.30 (1.07) [48.5]	
HZSM-5-1	30	-	-	1.90 (0.55) [174]	
HZSM-5-2	60	-	-	1.80 (0.92) [95.7]	
SAH-1	2.2	-	-	2.67 (2.17) [63.0]	
SAL-2	4.6	-	-	2.51 (1.76) [79.8]	

* 計論会指定番号

参考データ：固体高分解能 NMR 測定結果 Bruker CXP-300 FTNMR, 59.595 MHz
MAS 3.5 kHz, 13000 Free induction decays (1s), TMSi standard

HRMAS-²⁹Si-NMR Characterization of High-Silica Zeolites

Zeolites	Si/Al by CA	Chemical shift/ppm					Si/Al by NMR	
		Relative Intensity						
		Si13Al	Si12Al	Si11Al	Si10Al	Si9Al		
HY-1	2.50	90.3 13	95.8 37	100.9 36	106.8 14	-	2.68	
HY-2	2.85	88.5 12	94.2 39	99.5 34	104.5 15	-	2.70	
HMordenite-1	5.30	-	98.3 13	104.8 50	110.8 37	-	5.26	
HMordenite-2	7.64	-	98.5 5	105.0 46	111.5 49	-	7.14	
HMordenite-3	10.0	-	98.5 4	105.0 38	111.5 58	-	8.70	
HZSM-5-1	30	-	-	105.5 10	112.4 77	114.8 13	40	
HZSM-5-2	60	-	-	106.2 7	113.1 80	116.0 13	57	
HZSM-11	60	-	-	104.8 6	112.8 69	116.0 25	66	

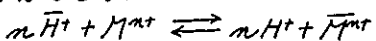
3. H-モルデナイトのイオン交換特性

(東工大理) ○高原俊也、難波征太郎、八島達明

1 緒言 ゼオライトが、その構造中に有するAl原子そのため、イオン交換体として働く事は良く知られている。また最近では、 Si/Al 比を変える事でできるさまざまな合成ゼオライトが開発されている。このうちのゼオライトは、同じ構造を持ちながら、イオン交換サイトを生ずるAl原子の数が異なっている。 Si/Al 比の高いゼオライトほど、イオン交換サイト間の距離は長くなるはずである。このようなゼオライトを多価カチオニで交換した場合、次のようない事が予想される。Al原子間の距離が約程度以上長くなると、各個のカチオニは同時に各個のイオン交換サイトを占める事が難かしくなる。イオン交換反応では、各個のカチオニ/個で各個のイオン交換サイトを占める事が理想的である。このような場合、イオン交換の*Ideality*が成立すると言う。従って、 Si/Al 比の高いゼオライトでは、各個のカチオニとのイオン交換反応に対して、*Ideality*が成立しなくなる事が予想される。

本研究では、 Si/Al 比の異なる3種類のH-モルデナイト。(参照触媒討論会、HM-10、HM-15、HM-20)と、更に Si/Al 比の高いH₃SiM-5を用いて、1価と2価のカチオニとのイオン交換反応を行なった。イオン交換の*Ideality*について検討すると共に、各種カチオニの最大イオン交換率を調べた。

イオン交換の*Ideality*が成立するかどうかは、以下の式を用いて検討した。プロトニ型のイオン交換体と2価のカチオニとの間で理想的なイオン交換反応が起ころうと、その反応は次のようになります。



ここで \bar{H}^+ と \bar{M}^{m+} はそれぞれ交換体中のプロトニと金属カチオニを表わし、 H^+ と M^{m+} は溶液中のプロトニと金属カチオニを表わす。この反応の濃度平衡定数 K_d は次のように書ける。

$$K_d = \frac{[H^+]^n [\bar{M}^{m+}]}{[\bar{H}^+]^n [M^{m+}]} = K_{d0} \times \frac{[H^+]^n}{[\bar{H}^+]^n} \quad (1)$$

K_{d0} は分布係数と呼ばれ、次式で定義される。

$$K_{d0} = \frac{[\bar{M}^{m+}]}{[M^{m+}]} = \frac{\text{交換体中の金属カチオニの量}}{\text{溶液中の金属カチオニの量}} \times \frac{\text{溶液の体積}}{\text{交換体の質量}}$$

(1)式の両辺の対数を取ると(2)式が導ける。

$$\log K_d = \log K_{d0} + n \log [H^+] - m \log [\bar{H}^+] \quad (2)$$

イオン交換率の低い範囲では、 $[\bar{H}^+]$ は一定となりますが、 $\log K_d$ は定数であるから、(2)式は次のように表わせろ。

$$\log K_d = C - n \log [H^+] \quad \text{但し } C \text{ は定数}$$

たがはらとしや、なんばせいたろう、やしまつあき

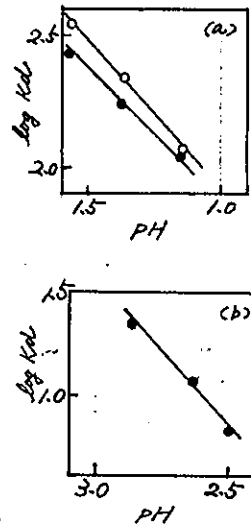


図1. $\log K_d$ のpH依存性
(a) $K^+ - HM-15$ (○)
 $K^+ - HM-20$ (●)
(b) $Na^+ - H_3SiM-5$ (■)

1価カチオン *Ideality* O
2価カチオン *Ideality* なし

イオン交換率の低い範囲で、酸濃度を変化させ、溶液中の金属カチオンの量を測定すれば K_d を算出する事ができる。 $\log K_d$ を $\log [H^+]$ に対してプロットすれば、その傾きと直線性からイオン交換の *Ideality* が成立しているかどうかを確かめられる事ができる。

2 実験 分布係数 K_d の測定は次のようにして行なった。一定濃度のカチオンを含む、酸濃度の異なる溶液を調製する。溶液中の金属カチオンの量は、モルデナイトの場合交換サイトの 1.25%、 H_2SM-5 の場合 5% に相当した。溶液の pH は、モルデナイトの場合 pH 1~2、 H_2SM-5 の場合 pH 2.5~4 の範囲で変化させた。一定量のゼオライトトニアの溶液 50 ml を加え、90℃ の恒温槽中に一夜夜被置した。その後、液相部分を取り出して金属カチオニの量と pH を測定した。金属カチオニの量は、原子吸光・フレーム分光光度計を用いて測定した。溶液の pH は、pH メーターを使用した中和滴定により求めた。

最大イオン交換率の測定は次のようにして行なった。0.5N の塩化物溶液をゼオライトに加え、毎日 1 回溶液を取り換える操作を 1 週間続けて、90℃ の恒温槽上でイオン交換を行なった。交換率の測定は、ゼオライトをフッ化水素酸で溶解し、原子吸光・フレーム分光光度計で Al と金属カチオニの量を測定して求めた。

3 結果と考察 図 1 に $HM-15$ 、 $HM-20$ 、 H_2SM-5 ($M/Al = 4.8$) について、1 価カチオンでイオン交換した場合の $\log K_d$ と $\log [H^+]$ の関係を示す。いずれの場合もプロットは直線となり、その傾きは -1 で 1 価のカチオニに対してイオン交換の *Ideality* が成立していふ事がわかる。これは 1 価のカチオニの場合、1 個のカチオニが 1 つのイオン交換サイトを占めるので、サイト間の距離が長くなつてもイオン交換反応には何の影響も与えないためである。

図 2 に $HM-15$ について、2 価カチオンである Cu^{2+} 、 Mg^{2+} 、 Ni^{2+} でイオン交換した場合の $\log K_d$ と $\log [H^+]$ の関係を示す。いずれの場合も、プロットは直線になつた。しかしその傾きは、 Mg と Cu では -1.5、 Ni では -1.3 となつた。交換カチオニが 2 価であるにもかかわらず、直線の傾きが -1 よりも大きくなつたのは、一部のカチオニが $MgCl^+$ (Mg は金属) のような錯体を形成し、1 価のカチオニとしてイオン交換しても事が考えられる。 $HM-15$ の金属カチオニに対する選択性の順序は、 $Mg > Cu > Ni$ である。

図 3 に $HM-20$ についての結果を示す。プロットはいずれも直線となる。だが、その傾きは Mg では -1.7、 Cu では -1.4、 Ni では -1.3 となつた。選択性の順序は $Mg > Cu > Ni$ である。

以上のように、2 価カチオニに対して $HM-15$ と $HM-20$ の場合、傾きが -1 よりも大きくなる。

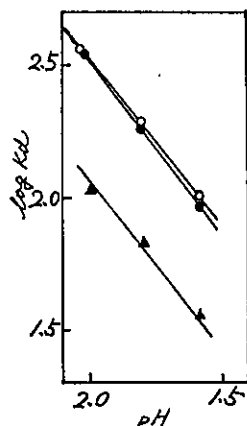


図 2 $\log K_d$ の pH 依存性
 Mg^{2+} - $HM-15$ (○)
 Cu^{2+} - $HM-15$ (●)
 Ni^{2+} - $HM-15$ (▲)

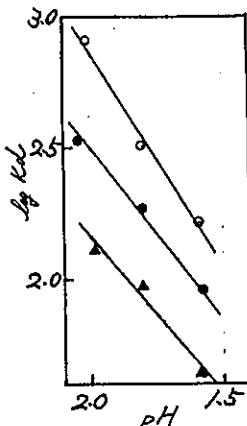


図 3 $\log K_d$ の pH 依存性
 Mg^{2+} - $HM-20$ (○)
 Cu^{2+} - $HM-20$ (●)
 Ni^{2+} - $HM-20$ (▲)

な。たのは、次のような理由によるものと考えられる。 Si/Al 比が高くなると、イオン交換サイト間の平均距離は長くなる。そのため交換体中には、2価カチオンよりも1価カチオンの方が安定に存在する事のであるサイトが現われると考えられる。そのようなサイトには、 MgCl_2 のような錯体がイオン交換し、直線の傾きを大きくするのだろう。

図4ヒ、H8SM-5を用いてイオン交換した場合の結果を示す。アロットは直線となる。たが、その傾きは-0.5で、モルデナイトの場合よりも更に傾きが大きくな。た。モルデナイトよりも Si/Al 比の高い8SM-5では、サイト間の距離がモルデナイトに比べて長い。従って、2価のカチオンが安定に存在できるサイトの割合は、少なくなるのである。

表1に最大イオン交換率の測定結果を示す。Cuの場合、イオン交換率は100%を越えた。これは一部のカチオンが CuCl_2 の形でイオン交換した事が考えられる。それに對して、Niのイオン交換率は60%程度だった。NiCl₂溶液のpHは4.65と低か。た。モルデナイトのNiに対する選択性がアロトニに対する選択性よりも低く、pHの低い所ではイオン交換が起らなくなるのだろう。またH8SM-5の場合、Mgのイオン交換率は酢酸塩を使。た場合の方が高くなっ。た。酢酸塩溶液のpHは7.21、塩化物溶液のpHは6.46だった。8SM-5の場合も、溶液のpHの値がイオン交換に影響を与えると考えられる。

表1 各種カチオニの最大イオン交換率

交換体	HM-15	HM-15	HM-20	HM-20	H8SM-5	H8SM-5
試薬	CuCl_2	NiCl_2	CuCl_2	NiCl_2	MgCl_2	$\text{Mg}(\text{CH}_3\text{COO})_2$
交換率	137	59	174	63	28	87

(1) 阿部、化学教育、16(3)、15(1968)

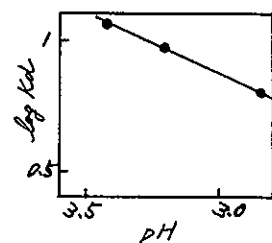


図4 $\log K_d$ の pH 依存性
 Mg^{2+} - H8SM-5

4.

ゼオライトの外部表面積の測定

(宇都宮大学) 鈴木 熟, 江連宏昌, 斎藤研一

1. 結言

ゼオライト触媒は形状選択性が良い。この形状選択性に有効な表面は細孔内のそれを除いて、外部表面は形状選択性に無縁である。そこでゼオライト触媒の形状選択性の検討に必要なより外部表面積を測定した。

2. 実験

2.1 実験装置

ゼオライト触媒の細孔を充填するための n -ブタノンの吸着実験は通常の定容吸着量測定装置を行った。外部表面積は温度補償型吸着量測定装置¹⁾による窒素の吸着量より求めた。必要な場合は装置の出力電圧を通常の記録計で記録して観測した。

2.2 吸着試体

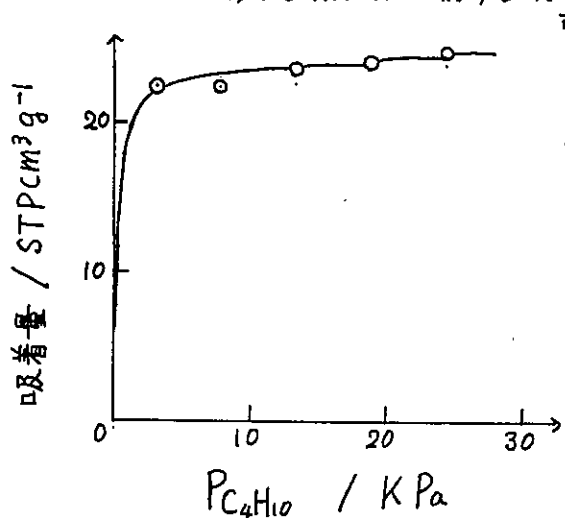
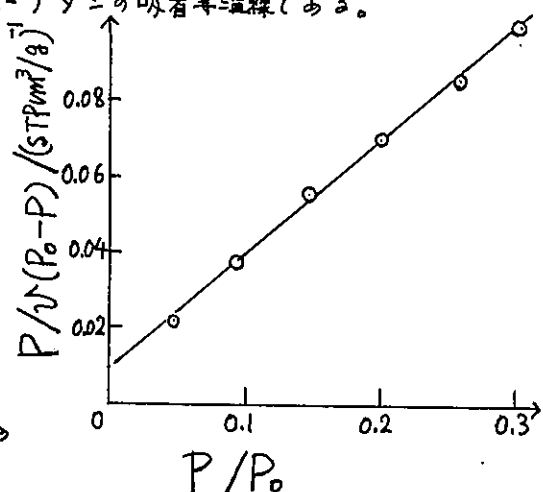
n -ブタノンは市販品を数回蒸溜して使用した。窒素およびヘリウムは市販のガスボンベより熱した銅粉および液体窒素に浸した活性炭を通して精製した。

2.3 測定法

ゼオライト触媒を 400°C で2時間真空排気後、 0°C において n -ブタノンを吸着させた。 n -ブタノンの吸着平衡圧を約40 KPaとした後、系内に約90 KPaのヘリウムを導入した。最初に約 -60°C に冷却後、さらに液体窒素温度に冷却し、その後液体窒素温度で充分排気し、窒素の吸着実験に供した。このような外部表面積測定法を細孔充填法と呼ぶ。

3. 実験

図1は 0°C におけるHM-15に対する n -ブタノンの吸着等温線である。

図1 HM-15へのブタノンの吸着(0°C)図2 予め n -ブタノンを吸着させた HM-15に対する窒素の吸着(BETプロット)

この吸着等温線はランゲミュア式で表わすことができ、飽和吸着量として $25.3 \text{ STP cm}^3/\text{g}$ を得た。ここでn-ブタンの吸着平衡圧を約 40 kPa とした後、窒素の吸着実験に供した。吸着平衡圧 40 kPa は飽和吸着量の約 98.8% に相当する。

図2は予めn-ブタンを吸着させたHM-15に対する窒素の吸着等温線のBETプロットである。直線性の良いBETプロットが得られ、細孔が予めn-ブタンで充填されたことを示す。図2より得られた窒素の单分子吸着量は $3.23 \text{ STP cm}^3/\text{g}$ であり、外部表面積として $13.9 \text{ m}^2/\text{g}$ を得た。

同様に予めn-ブタンを吸着させたHM-10に対する窒素の吸着等温線のBETプロットを図3に示す。図3より得られた窒素の单分子吸着量は $1.00 \text{ STP cm}^3/\text{g}$ であり、HM-10の外部表面積として $4.30 \text{ m}^2/\text{g}$ を得た。先に述べたようにn-ブタンの予吸着後に導入するヘリウムの圧力が小さい場合には図4のようなBETプロットを得ることがある。

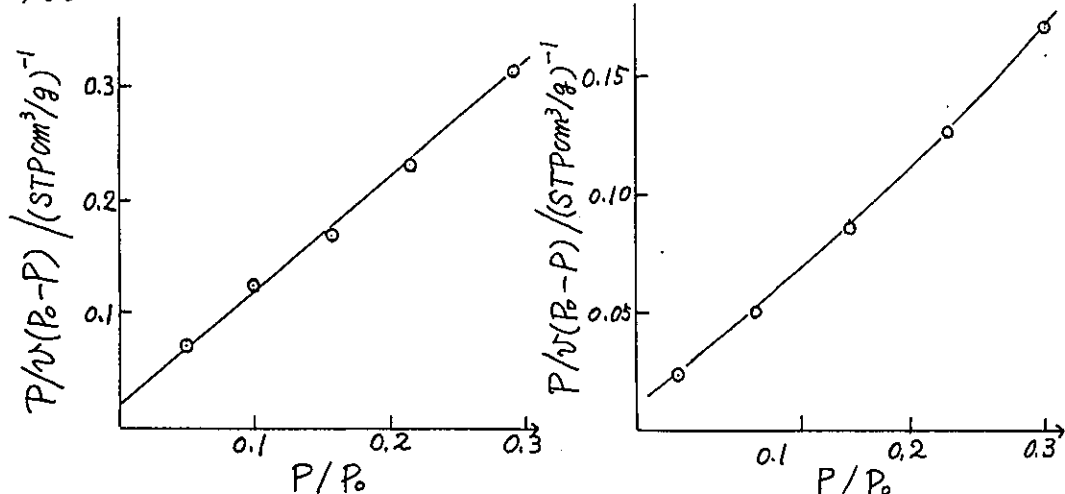


図3 予めn-ブタンを吸着させたHM-10に対する窒素の吸着(BETプロット)
図4 予めn-ブタンを吸着させたHM-10に対する窒素の吸着(BET)

窒素の圧力が高くなるほど下に凸に弯曲し、高压においてBET式より期待される吸着量より実測の吸着量が小さくなつたことを示す。すなわち図4を得たHM-10においては細孔内よりn-ブタンが一部脱離していきることを示す。

一般にはゼオライトに対する窒素の吸着量は細孔内部への吸着(ランゲミュア式で表わされる)と細孔外部への吸着(BET式で表わされる)の和が観測される。図3のように良い直線性を示せば後者は比較して前者は無視でき、また図4のよう下に凸になる場合には前者が無視できなかつたと考えられる。事実図4の実験点より最小2乗法より得た窒素の单分子吸着量は $1.83 \text{ STP cm}^3/\text{g}$ であった。

図5、図6は水を予めn-ブタンを吸着させたM-10およびM-15に対する窒素の吸着等温線より得たBETプロットである。これらより窒素の单分子吸着量としてそれぞれ $0.92 \text{ STP cm}^3/\text{g}$ および $2.00 \text{ STP cm}^3/\text{g}$ を得た。したがてM-10およびM-15の外部表面積としてそれぞれ $3.94 \text{ m}^2/\text{g}$ および $8.60 \text{ m}^2/\text{g}$ を得た。

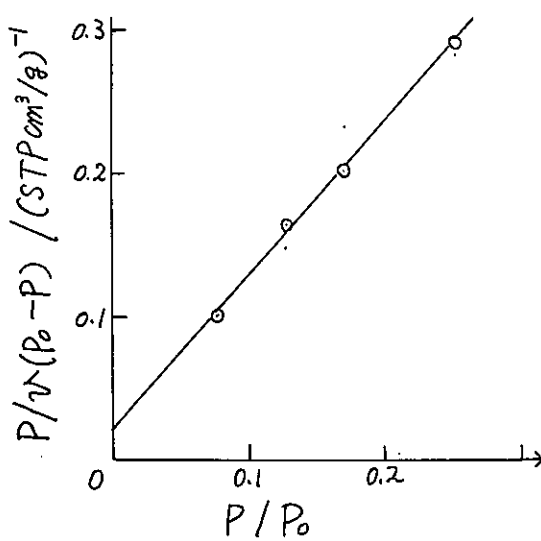


図5 予めn-ブタンを吸着させたM-10に対する窒素の吸着(BETプロット)

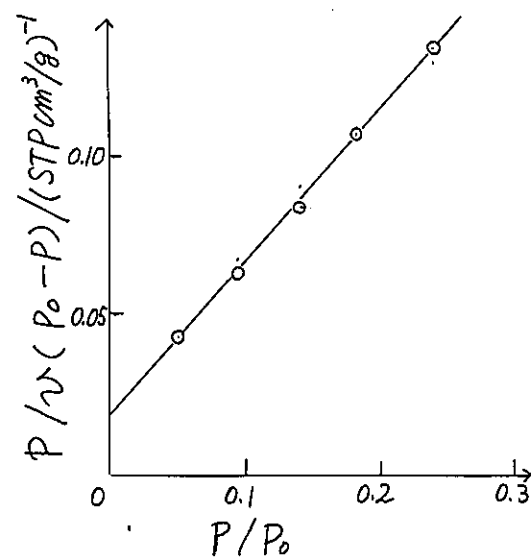


図6 予めn-ブタンを吸着させたM-15に対する窒素の吸着(BETプロット)

細孔充填法で測定された4種のゼオライトの外部表面積を表1に示した。

表1 ゼオライトの外部表面積

ゼオライト	M-10	HM-10	M-15	HM-15
外部表面積(m²/g)	3.94	4.30	8.60	13.9

文献

- I. Suzuki, Rev. Sci. Instrum., 53, 1061 (1982), 鈴木勲, 試験, 24, 426 (1982)

5. 外表面積、酸測定

日揮・衣浦研究所 猪俣 誠、山田正年、岡田早苗

1. 対象試料

外表面積測定: NO.1~NO.10

酸測定: NO.6~NO.10

2. 装置

外表面積測定: Quanta Chroma 製モノソープ

: 日立製 H700H 分析電子顕微鏡

酸測定: 東京理工製 自動マルチバーパスカロリメーター

3. 測定方法

3-1. 外表面積測定

a) Benzene-filled pore 法

① 試料を 400°C, 1HR, N₂ 気流中にて焼成。

② 試料をベンゼン溶液を入れたデシケーター中に少なくとも 10HR 以上放置して、十分ベンゼンを吸着させる。

③ ドライアイス温度に冷却したサンプル管に適量の試料を入れ、 BET 装置にセットした後、 (N₂+H₂) ガスでバージする。

④ N₂吸着は、液体窒素温度で行い、脱離はドライアイス温度で行なう。本操作を 2~3 回繰返し行い、脱離量の平均から吸着量を求める。

b) Electron-micrograph 法

① 電顕観察は既報¹⁾ 参照。

② SEM, TEM 像より推定されたゼオライトの単結晶の形状から幾何学的外表面を算出する。

3-2. 酸測定

① 試料は、 400°C, 7HR 真空脱気する。

② 室温で NH₃吸着熱と、その時の吸着量を測定し NH₃ 吸着熱微分曲線を求める。

4. 結果および考察

4-1. 外表面積測定 (Figs.1,2, Table 1)

① Fig.1 から Benzene の吸着時間は少なくとも 10HR 以上必要である。

② Benzene-filled pore 法と電顕写真より求めた外表面積は、ほぼ一致した。

4-2. 酸測定 (Figs.3,4, Table 2)

① 酸量、酸強度と Si/Al比との対応は得られなかった。

いのまた まこと、やまだ まさとし、おかだ さなえ、

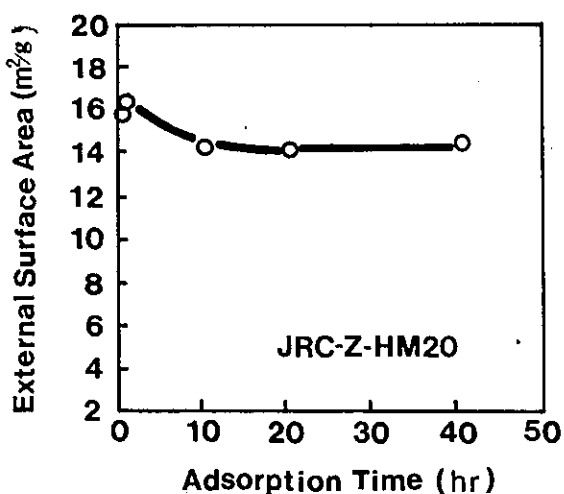


Figure 1 External surface area vs. Benzene adsorption time

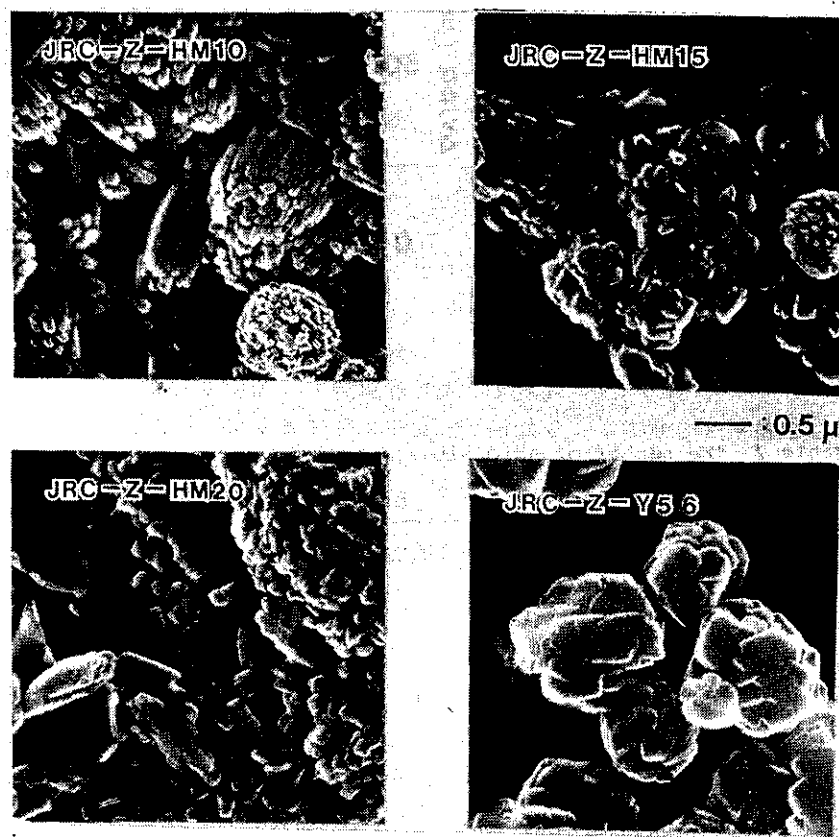


Figure 2 Scanning-Electro Micrograph

Table 1 External Surface Area

Sample	Surface area (m ² /g)	External surface area(m ² /g) filled-pore	External surface area(m ² /g) geometric
JRC-Z-Y4.8	636	6.9	6.7-8.4
JRC-Z-Y5.6	628	7.2	6.7-8.4
JRC-Z-M10	267	8.9	
JRC-Z-M15	292	11.0	
JRC-Z-M20	266	13.0	
JRC-Z-HY4.8	646	17.0	
JRC-Z-HY5.6	634	10.6	
JRC-Z-HM10	187	9.8	
JRC-Z-HM15	309	13.5	
JRC-Z-HM20	299	15.2	15.0-16.9

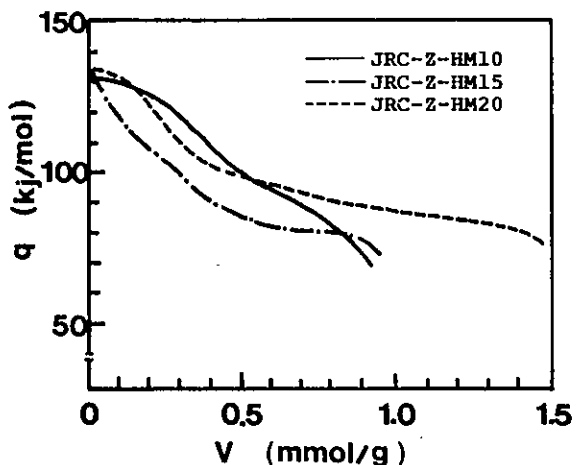


Figure 3 Heat of adsorption of ammonia

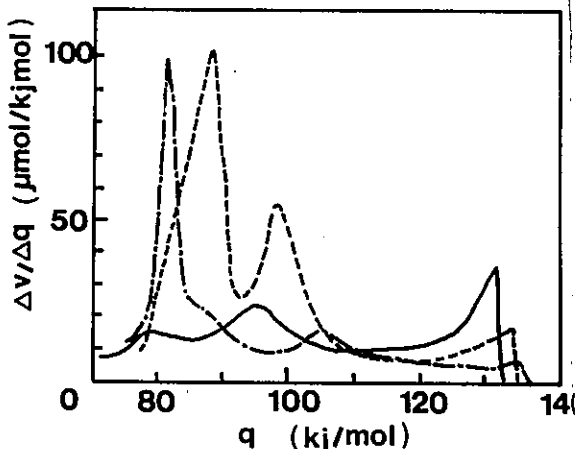


Figure 4 Acid strength distribution

Table 2 The number of Acid sites(>85 Kj/mol)

Sample No	6	7	8	9	10
The number of Acid sites (mmol/g)	0.62	1.13	0.75	0.51	1.13

参考文献

1. 山田, 岡田, 古田, 第4回参照触媒討論会資料(1982)

6. 外表面積、T P D の測定

(名大工) 丹羽 幹

A. 外表面積測定

十分に湿った状態のゼオライト(Fully-hydrated Zeolite)を用い、B E T法により外表面積を求める。

測定方法

- サンプルを少なくとも一昼夜塩化アンモニア飽和水溶液を入れたデシケーター中に放置して、十分に湿った状態とする。
- 流通式のB E T法(一点法)で窒素の吸着量を測定する。この場合、サンプルの前処理はしない。
- 窒素の吸着は液体窒素温度でおこない、脱離はドライアイス温度で行なう。脱離量から、吸着量を測定する。

結果

サンプル	外表面積 (m ² g ⁻¹)	サンプル	外表面積 (m ² g ⁻¹)
		H Y - 4.8	1 0 . 0
		H Y - 5.6	6 . 8
M - 1 0	7 . 7	H M - 1 0	7 . 8
M - 1 5	1 2 . 6	H M - 1 5	1 6 . 5
M - 2 0	1 7 . 1	H M - 2 0	2 3 . 8

14

B. アンモニアの昇温脱離法による酸性質の測定

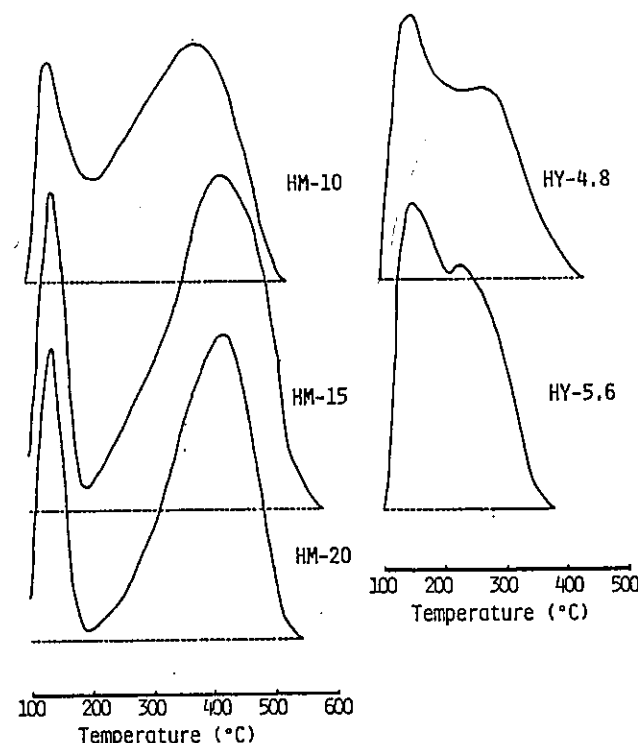
測定方法

- サンプルを773 K、1時間脱気処理する。
- アンモニアを373 Kで吸着平衡に至らせる。この時の、平衡圧を100 Torr以上とする。
- 気相のアンモニアを脱気した後、ヘリウムのキャリヤーガスに切り変える。
- 373 Kから2.5 K/minの速度で昇温する。
- 脱離ピークの大きさから酸量を、ピークの温度から強度を測定する。

結果

サンプル	酸量 (mmol/g)		合計
	1 ピーク	h ピーク	
H M - 1 0	0 . 3 6 (4 1 5)	1 . 0 7 (6 6 8)	1 . 4 4
H M - 1 5	0 . 4 2 (4 1 2)	1 . 4 0 (6 9 7)	1 . 8 2
H M - 2 0	0 . 3 5 (4 1 3)	1 . 0 8 (6 9 8)	1 . 4 3
H Y - 4.8	0 . 4 9 (4 2 8)	0 . 6 3 (5 6 1)	1 . 1 2
H Y - 5.6	0 . 5 8 (4 3 1)	0 . 4 7 (5 0 8)	1 . 0 5

脱離スペクトル



以上の結果次の様な結論を得た。

1. 脱離スペクトルは低温(1)と高温(h)の二つのピークからなる。
2. h-ピークからモルデナイトのほうがY型ゼオライトよりも強い酸を持つことがわかる。
3. モルデナイトの中では、シリカーアルミナ比の大きいほうが強酸側に強度分布を持っている。
4. 酸量とモルデナイトのシリカーアルミナ比には系統性が見られず、HM-15が大きな値を示すことがわかる。なお、A1の含有量をモルデナイトについて計算したところ、HM-10、15、20で各々、2.42, 1.77, 1.40(mmol/g)となった。15と20はほぼ一致したのに対し、10では約60%が酸量を示したことになる。
5. M-10をイオン交換してH型としたサンプルの結果を参考として示すと、
0.34 (415)、1.17 (683)、1.51
であった。ほぼ一致しているといえよう。
6. Y型ゼオライトでは、HY-4.8のほうがHY-5.6よりも強い酸を、しかも多く、持っている。後者のイオン交換率が低いことと関係があるようと思われる。
7. 別のゼオライトを使って行なった我々の研究結果(C.V.Hidalgo et al. J.Catal., 85, 362 (1984))とこの結果はほぼ一致している。つまり、製造者やバッチなどによる差は顕著でなく、ゼオライト種による差が大きいと言うことができる。

7. 吸着ピリジンのTPD測定

日本石油(株) 中央技術研究所

牛尾 賢, ○石井 武

1 測定方法

(1) 実験装置

TPD装置はガスクロマトグラフを利用する流通型で、キャリヤーにはHeを、検出器にFIDを、加熱炉に赤外線反射炉を用いた。試料管は内径4φ, 長さ420mmの石英製で、内部に熱電対を挿入した。ピリジン注入にはマイクロシリンジを用い、注入口は200°Cに制御した。

(2) 標準測定条件

試料採取量 : 2.5 mg

Heキャリヤー流速 : 40 ml/min.

前処理温度、時間 : 500°C × 30 min.

昇温範囲 : 150°C → 900°C

ピリジン吸着温度 : 150°C

昇温速度 : 30°C/min.

ピリジン注入量 : 2μl × 5回

ピリジンの吸着量は、平衡吸着量に達した時の2μlピリジン量に対するピーク面積を基準として、1パルス毎に得られる吸着量の総和より求めた。

脱着量は同じく2μlピリジン量に対するピーク面積を基準として、昇温脱離後のクロマトグラムの面積より求めた。

2. 結果

標準測定条件でのH型試料5種の測定結果を表-1に、また各試料のTPDクロマトグラムを図-1に示す。

表-1 吸着ピリジンのTPD

触媒名	ピリジン量 (mg/mg-cat) × 10 ²		回収率 (%)	MAX. ピーク温度 (°C)		TGA法 ピリジン 吸着量
	吸着量	脱着量		低温側	高温側	
JRC-Z-HM-10	6.23	4.53	73	-	636	5.9
JRC-Z-HM-15	7.92	6.00	76	-	644	5.3
JRC-Z-HM-20	6.12	5.36	88	-	720	5.4
JRC-Z-HY-48	11.03	9.96	90	264	649	12.8
JRC-Z-HY-56	12.40	10.74	87	262	632	12.4

* 前処理 500°C × 30 min. P₂O₅吸着温度 150°C. P₂O₅吸着はバーリング法。
吸着量 (mg/mg-cat) × 10²

2μl × 5回のパルス方式にて吸着される量と、TGA法にて求めた平衡吸着量はほぼ一致し、パルス方式での吸着が十分であることがわかった。

うしお まさる いしむ たけし

ピリジン脱着量は吸着量に比べ低い値を示し、その回収率は約70~90%であった。

HMの方がHYより回収率が約10%多かった。TPD測定後の使用済触媒中にはC,H,N元素の存在が確認され、その量はHMの方がHYより約10倍多かった。

3 測定条件の検討

触媒25mgを用い、ピリジン吸着温度、前処理条件、キャリヤー流速および昇温速度について標準条件近傍で検討した結果を述べる。

(1) ピリジン吸着温度

前処理後、ピリジン吸着温度を変化させた時の測定結果を表-2に示す。

ピリジン吸着温度が高くなるにつれて、吸着量、脱着量とも減少するが、400°C以上で脱離するピリジン量はほぼ一定であることがわかった。

(2) 前処理温度

前処理温度を300~600°Cで変化させた時の、ピリジン吸着量の変化を触媒HM-10, HY-5.6を用いて調べた。その結果、この温度範囲では、ピリジンの吸着量はほぼ一定であった。

(3) キャリヤー流速

キャリヤー流速を20~50ml/min.で変化させた時のピリジン吸着量の変化を図-2に示す。なお前処理も同一流速で行った。

流速が大きくなるにつれて吸着量は減少する傾向を示したが、HMはHYよりもその傾向は小さい。

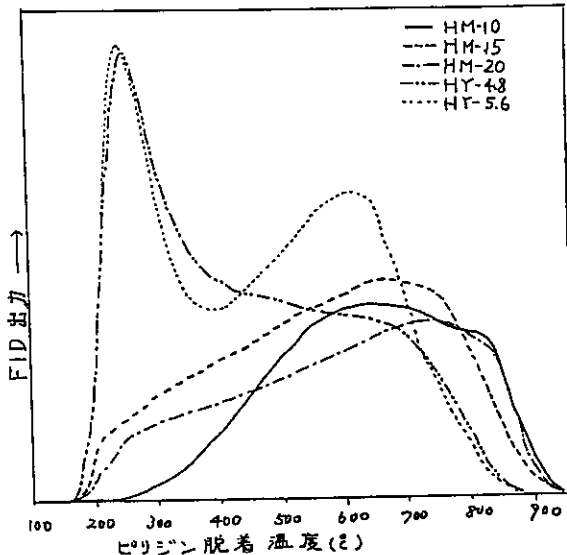


図-1 H型セオライト触媒(触媒量:25mg)のTPDクロマトグラム

表-2 ピリジン吸着温度の影響

触媒名	Py吸着温度 (°C)	Py量($\text{mg}/\text{mg-cat}$) $\times 10^2$		400°C以上 の脱着量*
		吸着量	脱着量	
JRC-Z- HY-5.6	50	16.22	16.65	5.79
	110	15.07	14.42	6.12
	150	12.40	10.74	6.56
	200	11.13	7.63	6.06

* ($\text{mg}/\text{mg-cat}$) $\times 10^2$

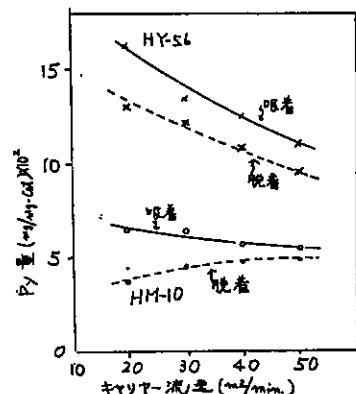


図-2 キャリヤー流速とピリジン吸着量の関係

また、脱着量は HM では増加し、HY は減少する傾向を示した。

(4) 升温速度の影響

升温速度を 15, 30, 45 °C/min. と変化させた時のピリジン脱着量の変化を調べた。
その結果、ピリジンの脱着量は 升温速度に関係なくほぼ一定であった。

次に、T P D クロマトグラムより脱着活性化エネルギー E_a を次式より求めた。

$$2\log T_M - \log \beta = E_a / 2.303 R T_M + \log(E_a / A R)$$

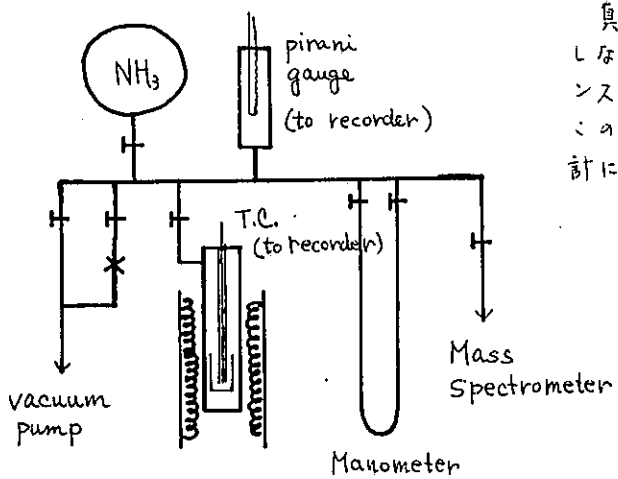
但し、 T_M は $\text{H}^{\circ}-\text{MAX}$ 温度 (°K), β は 升温速度 (°C/min.), A は 頻度因子
 R は 気体定数

その結果、HM-10 で 78 Kcal/mole, HM-15 で 84 Kcal/mole, HY-4.8 で 36 Kcal/mole
(低温側), 82 Kcal/mole (高温側) の値が得られた。

8. アンモニアの吸着および昇温脱離

(東工大・工) K. MAHOS ○ 新山浩雄

実験装置： 開鎖系ガラス製昇温脱離装置。概略を図1に示した。



真空ポンプにより適当な抵抗を経て排気しながら試料部を加熱。脱離と排気のバランスより生ずる TPD 曲線を得るもの。
この際適宜サンプリングしながら質量分析計にて脱離物を固定する。

図1. 実験装置。

測定法。

試料重量測定 → 前処理 → NH₃ 吸着量測定 → 室温排気

0.40 g (wet basis)	450°C	21°C	1 h
(NH ₄ Cl 飽和水)	1 h	平衡圧測定	
(デシケーター中に保持)	真空排気	(0.5 時間後)	

→ TPD 測定

10°C/min
最高温度 600°C

結果。 吸着量、TPD のまとめを表 I に示す。5つの触媒の TPD 曲線を図 1 ~ 5 に示した。なおピークの和計算は目安程度に考へておいた。

Table 1. Amounts of ammonia adsorbed on ion-exchange zeolites and temperatures at which TPD peak maxima appear.

Expt. N°	Catalyst Code	Equilibrium Pressure, mmHg	Amt. of adsorbed Ammonia, moles	Acidity moles NH ₃ /g cat.	Peak Max. Temp., °C	
					1st	2nd
1	JRC-Z-HY4,8	70.0	0.00287	0.00719	109	304 ^s
2	JRC-Z-HY5,6	50.0	0.00313	0.00785	114	260 ^s
3	JRC-Z-HM10	48.5	0.00256	0.00642	122	444
4	JRC-Z-HM15	58.5	0.00218	0.00546	140	494
5	JRC-Z-HM20	81.0	0.00198	0.00496	132	492

s-shoulder

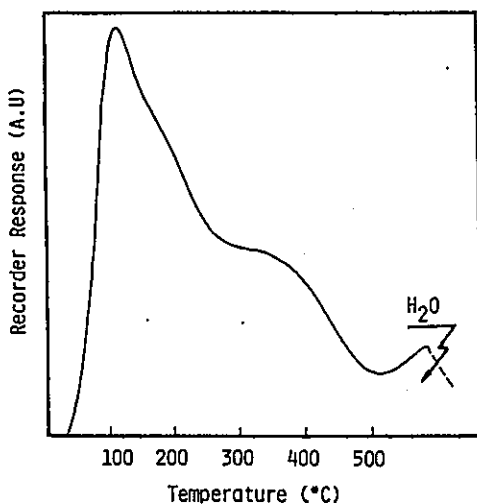


FIG. 2. TPD chromatogram of ammonia on JRC-Z-HY 4,8. Catalyst weight, 0.40025g,

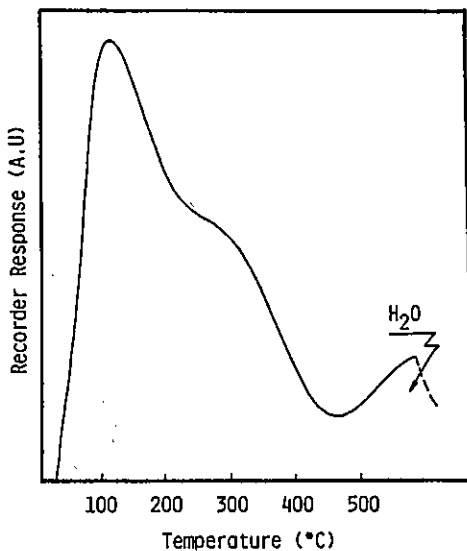


FIG. 3. TPD chromatogram of ammonia on JRC-Z-HY 5,6. Catalyst weight, 0.3991g,

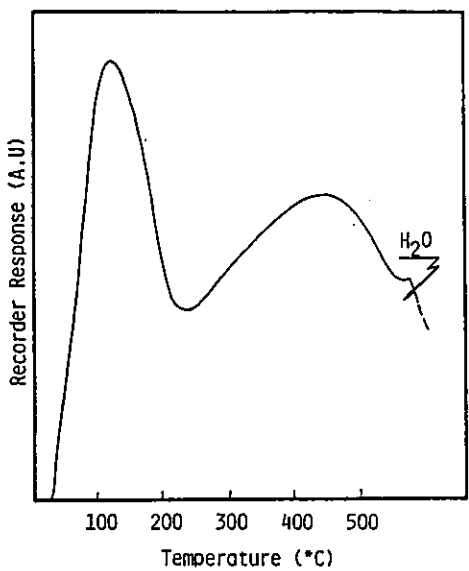


FIG.4. TPD chromatogram of ammonia on JRC-Z-HM 10. Catalyst weight, 0.39875g.

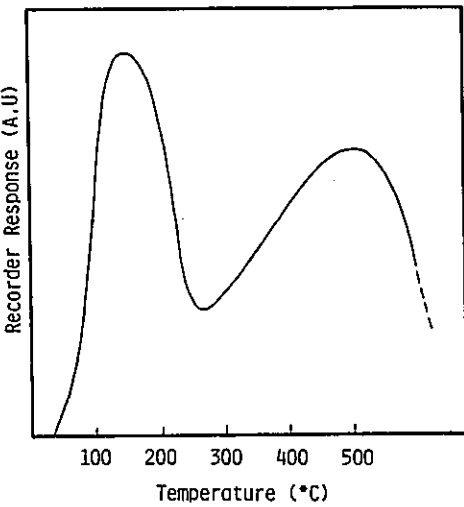


FIG.5. TPD chromatogram of ammonia on JRC-Z-HM 15. Catalyst weight, 0.40005g.

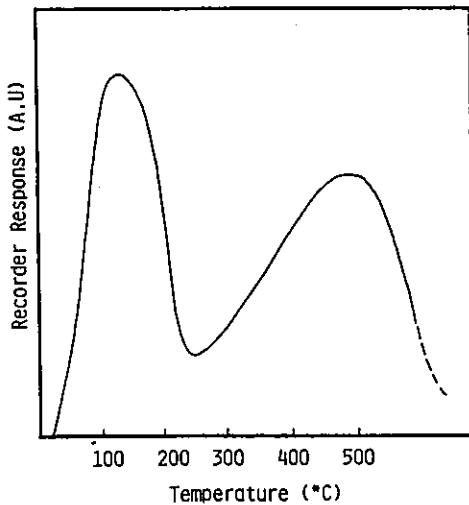


FIG.6. TPD chromatogram of ammonia on JRC-Z-HM 20. Catalyst weight, 0.39945g.

9.

ゼオライト触媒のクラッキング活性及びTPD試験

今井 哲也， 飯田 耕三（三菱重工業、広島研究所）

1. 対象試料 J R C - Z - H M - 10 , 15 , 20
J R C - Z - H Y - 5.6

2. 測定方法

(1) パルスリニアクターを用いたn-ペンタンのクラッキング活性評価

触媒量: 50mg, 原料: n-ペンタン 1 μl, He気流 (30ml/min) で評価

(2) ピリジン吸着によるTPD試験 (Ar気流 50ml/min中)

触媒充填 -- 触媒10mgを石英反応器に充填

↓

エージング、冷却 -- 450 °Cで30分保持した後、150 °Cまで冷却 (30分)

↓

ピリジンパルス -- 150 °Cでピリジン0.5 μlを20分間隔で4回 (HYの場合
30分間隔で5回) パルス (FIDで検出)

↓

昇温操作 -- 150 °Cから800 °Cまで30°C/minで昇温

3. 結果及び考察

反応温度300 ~ 500 °Cでn-ペンタンのクラッキング活性を評価した結果を図1に、
TPD試験の結果を図2にまとめた。これらより以下のことが明らかになった。

- (1) HMにおいては $\text{SiO}_2/\text{Al}_2\text{O}_3$ 比の高い HM-15, 20 の場合、クラッキング活性が高い
が、HM-10では活性が低い。また HYはクラッキング活性が低い。
- (2) ピリジン吸着量は Al原子数の多い HY がもっとも多いが、HMにおいては Al原子数
との相関がみられない。また高温側でのピリジン脱離量は、HYより HMの方が多く
HMの方が強酸点の多いことが伺える。
- (3) n-ペンタンのクラッキング活性と TPDパターンとの相関については、高温側で
のピリジン脱離量の多い HM-15, 20 がクラッキング活性が高いという傾向にあり、
強酸点がクラッキング活性と相関のあることが示唆された。

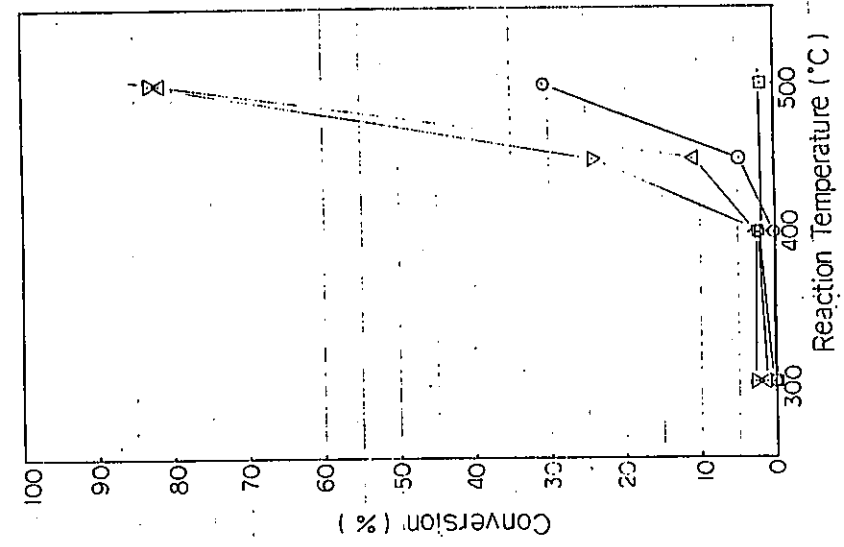


図1 プロピレンオキシドをプロピレンに変換する反応の進行度
 ○ JRC-Z-HM10
 ▲ JRC-Z-HM15
 ▽ JRC-Z-HM20
 □ JRC-Z-HY20
 × HY56

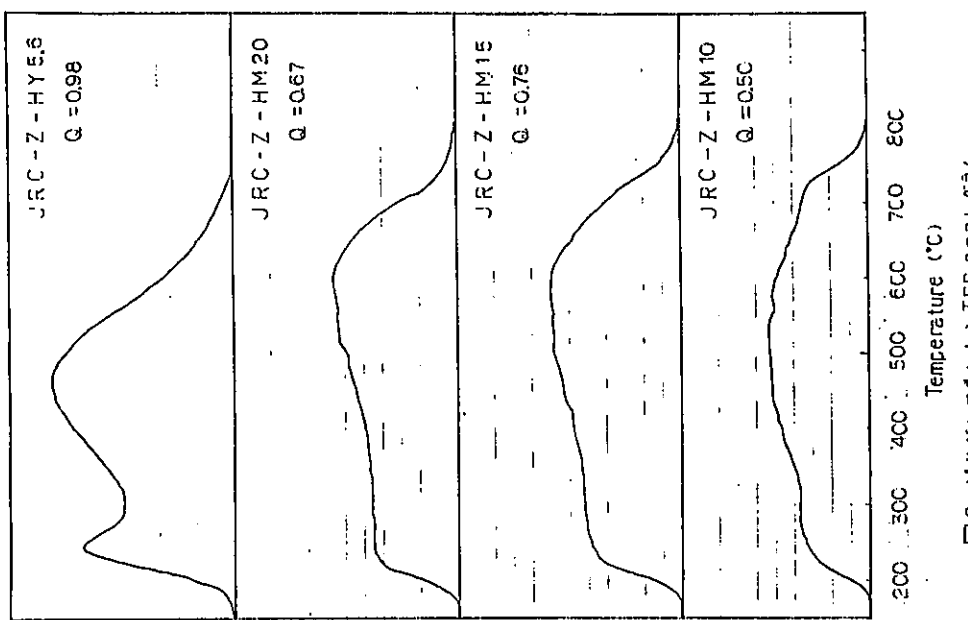


図2 ビリジン吸着量とTPDプロファイル
 G.ビリジン吸着量 (cm mmol/g)
 ○ JRC-Z-HY56
 ▲ JRC-Z-HM20
 ● JRC-Z-HM15
 ■ JRC-Z-HM10

10. 表面酸性度の測定とSEMによる表面観察

(水澤化学工業㈱中条工場) ○ 阿部 淳, 小川政英

1. 序

従来から、筆者らは代表的固体酸物質である無定形アルミノシリケートを取扱つてきたが、最近その延長としてゼオライトに興味を持つてゐる。

そこで、今回各種ゼオライトの物性測定の一環として表面酸性度の測定を行つた。又、ゼオライト結晶の表面をSEMで観察した。

2. 実験方法

表面酸性度の測定は、n-Butyl Amine滴定法で行なつた。詳しくは、「松崎ら、触媒〃、210～216(1969)」に準じて行なつた。各試料は150℃で3時間乾燥後測定に供した。

SEMは、日立製作所製S-570型を使用した。

3. 実験結果

表面酸性度の測定結果を表-1, 図-4-2に示す。

表-1 ゼオライトの固体酸

Sample	累積酸量 (mmol/g)				
	H ₀ ≤ -5.6	H ₀ ≤ -3.0	H ₀ ≤ +1.5	H ₀ ≤ +3.3	H ₀ ≤ +4.8
M-1 (JRC-Z-Y48)	0	0	0	0.026	0.683
M-2 (JRC-Z-Y56)	0	0	0	0	0.431
M-3 (JRC-Z-M10)	0	0	0	0.020	0.175
M-4 (JRC-Z-M15)	0	0	0	0.013	0.170
M-5 (JRC-Z-M20)	0	0	0	0	0.164
M-6 (JRC-Z-HY48)	0.355	1.415	1.560	1.996	変色せず測定不能
M-7 (JRC-Z-HY56)	0.185	0.909	0.891	1.456	2.442
M-8 (JRC-Z-HM10)	0.093	0.380	0.458	0.552	0.801
M-9 (JRC-Z-HM15)	0.027	0.301	0.328	0.485	0.729
M-10 (JRC-Z-HM20)	0.004	0.126	0.148	0.361	0.696

各ゼオライトのNa型は、ほとんど酸点を持たないが、それでも弱い酸点で差が認められる。

あべ きよし おがわ まさひで

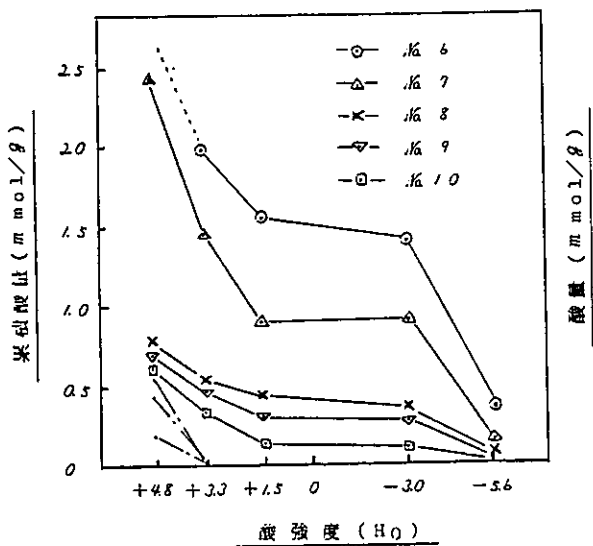


図-1 ゼオライトの固体酸

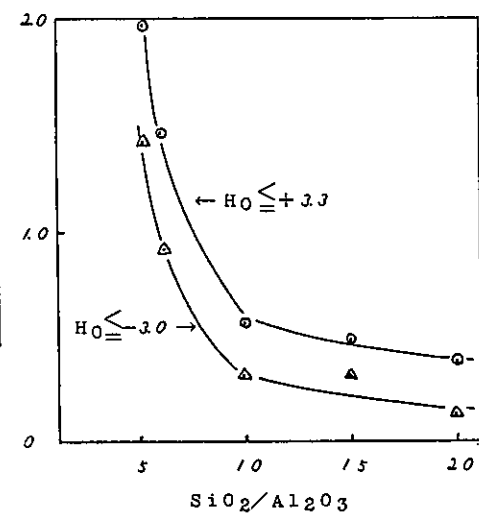
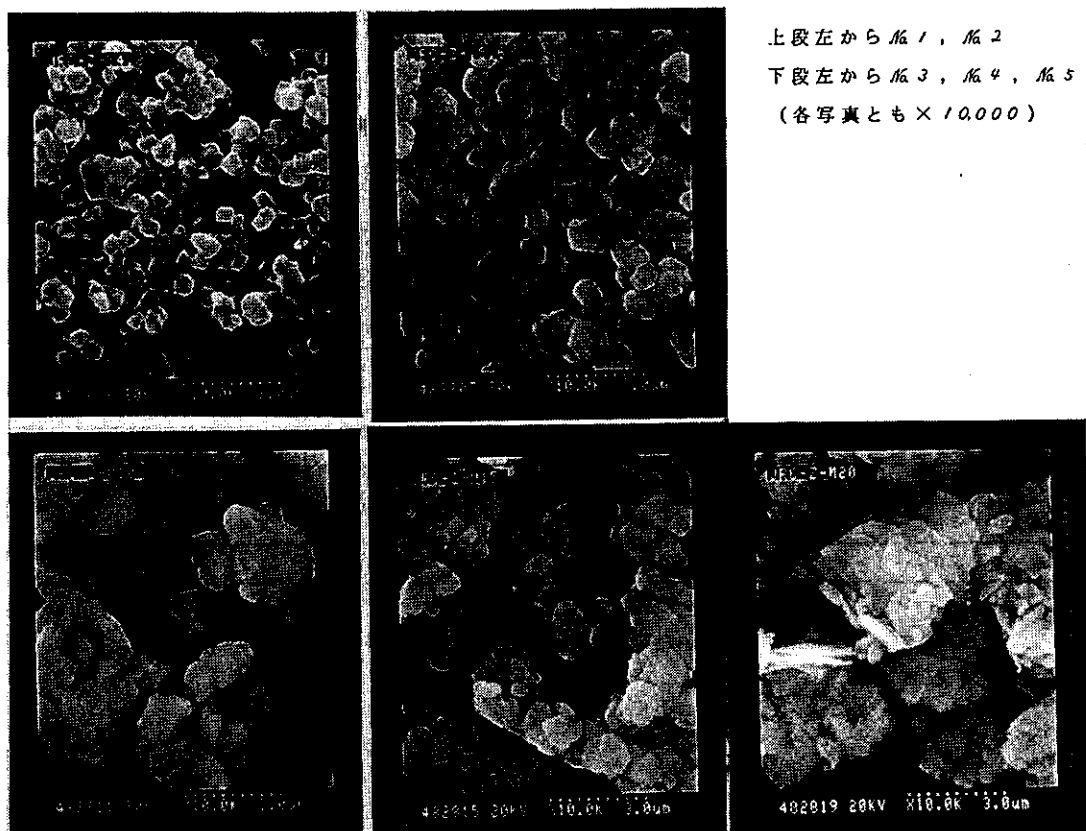


図-2 $\text{SiO}_2/\text{Al}_2\text{O}_3$ 比と酸量

SEMの写真的1例を以下に示す。



11. ゼオライトのX線光電子スペクトル

(坂本康昭)

ゼオライトの吸着能、触媒作用および安定性はその Si/Al 比、交換イオン種、構造に大きく依存する。ゼオライトの“表面組成”とそれらの性質との間に重要な関係があると推定される。X線光電子分光法(XPS)の結果より Tempere 等(1,2) 及び Defosse 等(3)はゼオライト表面でアルミニウム濃度が減少していると報告している。一方、Finster と Lorenz(4) は内部組成と表面組成は変わらないという結果を得ている。本報告ではいくつかの Na型ゼオライト、H型ゼオライト、シリカ・アルミナに関する XPS スペクトルの測定を行ない、表面組成および Si, Al, O の結合エネルギーの組成依存性を検討した。

実験

本研究で用いた試料を表に示す。NaY(SK-40)及び13Xはそれを日化精工、ガスクロ工業より得たが他の全て触媒専門の参考触媒である。XPS の測定は日立 X線光電子分光器 507 を用いて行った。励起源として AlK α 線を用い(9KV, 50mA)た。試料はサンプル台に両面テープ用いて粉末のまま保持した。試料の電圧を補正するため “ヨニ

Table XPS Parameters

Al/Si atomic ratio	Si2s/Al2p	Binding Energy (eV)				
		Al2p	Si2s	O1s	N1s	NaKLL
13X	0.81	2.27	74.1	153.0	531.1	497.7
NaY	0.43	5.37	74.2	153.6	531.8	498.1
JRC-Z-Y4.8	0.42	4.29	74.2	153.6	531.8	497.9
JRC-Z-Y5.6	0.36	4.54	74.2	153.6	532.0	498.1
JRC-Z-M10	0.20	8.11	74.1	153.6	532.0	498.2
JRC-Z-M15	0.13	12.0	74.1	154.0	532.3	498.4
JRC-Z-M20	0.10	18.6	74.1	154.0	532.3	498.1
JRC-Z-HY4.8	0.38	2.32	74.9	153.9	532.3	
JRC-Z-HY5.6	0.36	7.77	74.6	154.1	532.6	402.3 498.1
JRC-Z-HM10	0.20	9.31	74.0	153.8	532.2	402.7
JRC-Z-HY15	0.13	15.0	74.1	154.0	532.5	402.7
JRC-Z-HM20	0.10	19.8	74.2	154.2	532.8	402.7
JRC-SIO-1	0.0			154.0	532.5	497.8
JRC-ALO-4		0.0	74.0		530.9	
JRC-SAH-1	0.47	1.38	74.2	153.5	531.8	
JRC-SAL-2	0.19	9.52	74.4	153.8	532.2	

おがちとやくあさ

れ”KによるCIS準位(285.0 eV)を基準として結合エネルギー(BE)を計算した。ベースラインを直線と仮定して計算した面積強度をスペクトル強度とした。帶電の時間変化、表面のよごれなどによるBEおよびスペクトル強度変化を補正するためCIS, Si:2S準位を適当な程度も測定した。Al2P, Si:2S, O1SのBEの再現性は±0.1 eV以内であり、Si:2S/Al2P強度比の再現性は通常±5%以内である。

結果および考察

表K XPSのデータをまとめ表示す。Al2SはSi:2Sスペクトルエネルギーとスペクトル強度と重なりベースライン評価が困難であり、Si:2PはAl KLLオージェピーと重なる。よって本報告ではAl2PとSi:2Sを以下の解析に用いた。

まず表面組成とバルク組成の関係を検討する。図1にバルク組成Si/AlとSi:2S/Al2P強度比の関係を示す。XPS強度Iは

$$I = \frac{1}{n} \propto I_0 n$$

と書くことができる。ここで I_0 は光イオン化断面積、 n は光電子の平均自由行程、 n は問題にしている原子の濃度、 I はX線強度、 I_0 は依存する定数である。ただし、 n 以外は光電子の運動エネルギーの度数である。運動エネルギーEの近い準位、強度は

$$I_1/I_2 \approx (\alpha_1/\alpha_2)(\lambda_1/\lambda_2)(n_1/n_2)$$

となる。バルク組成Si/Alから予想されるSi:2S/Al2P強度比を式に基づき計算しR。 α としてScofield(5)による計算値($\alpha_{Al2P} = 0.537$, $\alpha_{Si:2S} = 0.955$)を用い、 $n \propto \sqrt{E}$ と仮定した。このようにして計算された理論直線を図1に示す。図1の結果より明らかにNa型ゼオライトの値はほぼ直線上にあり表面組成とバルク組成が等しいことを示している。NaYでは多少表面Si濃度が高く(脱アルミニウム)、Al/Si原子比は0.32と計算される。更に顯著な事にH型ゼオライトはHY 4.8を除き脱アルミニウム化がかなり進行している。イオン交換中にアルミニウムが溶出したことと密接である。HY 4.8に関しては熱処理中あるいはイオン交換中に表面層構造破壊が起きたものと推定される。シリカ・アルミナについてはAlの多いSAH-1でAlが表面に濃縮されていることが明らかとなった。

Al2P, Si:2S, O1SのBEの組成(Al/Si)依存性を図2~4に示す。Al2PのBEは組成にはほとんど依存しないがSi:2SとO1SのBEはAl量の増加に伴ない減少する。Al量の増加につれO1SはAl2O3のO1Sに近づく。O1SとSi:2Sはほとんど

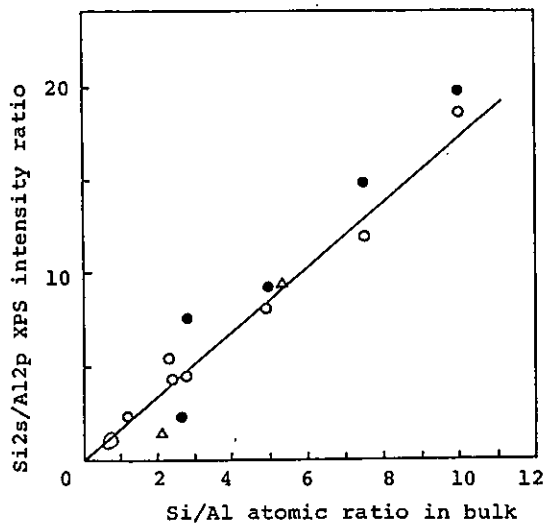


図1. Si/Al原子比とSi:2S/Al2P XPS強度比の関係。○; Na型ゼオライト、●; H型ゼオライト、△; $SiO_2-Al_2O_3$ 。直線はバルク組成から推定される強度比を示す。

$$\Delta E_b = k g_A + \sum g_B / r_{AB} + C$$

energy
Madelung energy

同じ依存性を持ち、Si2s-O1sのエネルギー差はほとんど組成に依存しない。以上より結果は 1) Al量の増加に伴ないO²⁻の電基強度が増大する(O1sのBEが減少する)のか 2) Madelung Energyの変化によるものか明確ではないが吸着能や脱媒能と関連は興味深い。

H型セオライトはNa型と異なりAl/Si比のみではなく周囲が得られない。これは表面の脱アルミニウムに伴う構造破壊によるものと推定される。

文献

- 1) J. F. Tempere et al., Chem. Phys. Lett., 33, 95 (1975).
- 2) idem, ACS Symp. Ser. 40, 76 (1977).
- 3) Defosse, C., et al. ibid., 40, 86 (1977).
- 4) J. Finster, P. Lorenz, Chem. Phys. Lett., 50, 223 (1977).
- 5) J.H. Scofield, J. Electron Spectr. 8, 129 (1976).

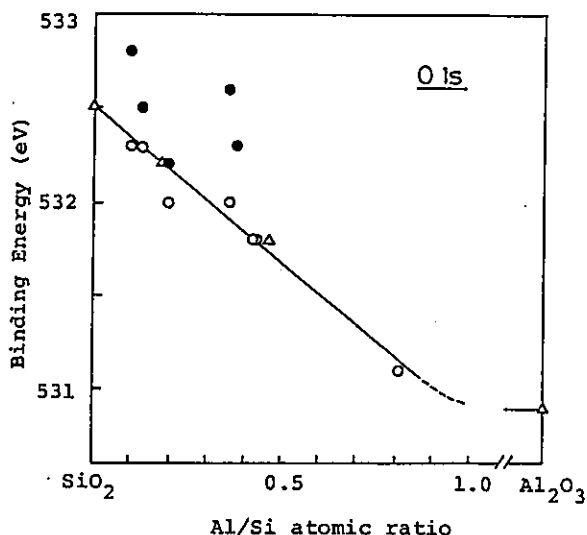


図4. O1s 結合エネルギーの組成依存性。○, ●, △ I=7112
は図1の説明参照。

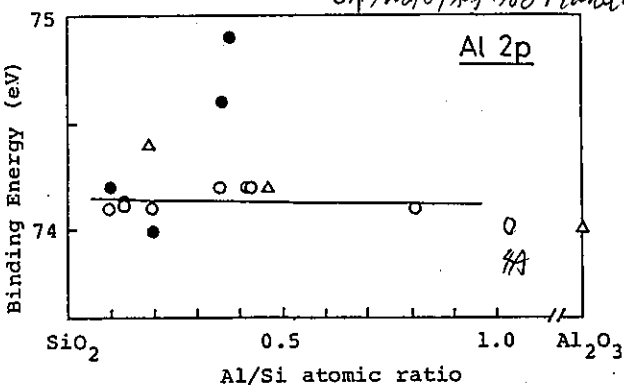


図2. Al 2p 組合エネルギーの組成依存性
○, ●, △についでは図1の説明参照。

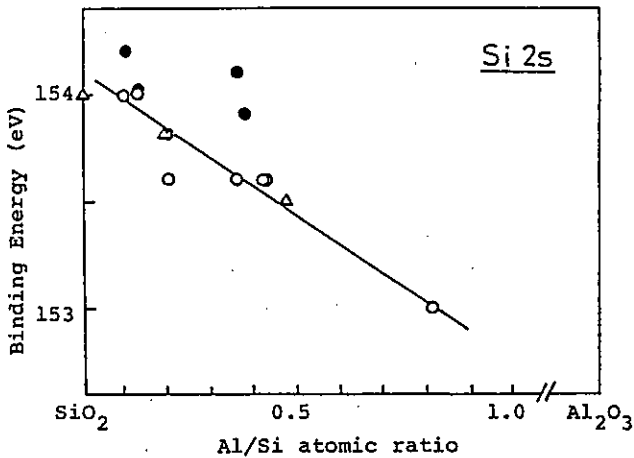


図3. Si 2s 結合エネルギーの組成依存性。○, ●, △ I=7112
は図1の説明参照。

12. ホウジャサイトおよびモルデナイト型ゼオライトの固体高分解能²⁹Si NMRスペクトル

化学技術研究所 鈴木邦夫、林 繁信、清住嘉道、新 重光、早水紀久子、山本 桂

1. 従来の固体NMRスペクトルは線幅が数kHz～数十kHzと液体のスペクトルに比べて著しく広く、微細構造に基づいた議論はできなかった。しかし、最近のサンプルの高速回転技術の進歩に伴いマジック角回転法(MAS法)NMRが比較的簡単にできるようになった。このため固体においても高分解能NMRスペクトルが観測できるようになり、化学シフトに関する情報を得ることが可能となった。固体高分解能²⁹Si NMRはゼオライトの構造研究に関する非常に有力な手段となっている。¹¹すなわち、²⁹Si核の化学シフト値がO原子を介して配位しているAl原子の数によって変化することを利用してゼオライトの微細構造に関する情報が得られている。そこで本報告では触媒学会提供の参照ゼオライトについてMAS²⁹Si NMR法によるキャラクタリゼーションを行なったのでその結果について述べる。

2. 測定に用いたゼオライトは触媒学会提供の参照触媒で特に前処理は行なわなかった。固体高分解能²⁹Si NMR測定は日本電子のFX-200により、39.6MHzで室温にておこなった。試料はデルリン製のローターに充填し、約4kHzでマジック角(54.7°)回転をさせた。通常の単一パルス法を用いて10秒のパルス間隔でFree Induction Decay(FID)シグナルを2～3h積算したのち、フーリエ変換してスペクトルを得た。またFIDシグナルを取り込む間は、¹Hの共鳴周波数に相当するラジオ波を照射して¹H核のデカップリングを行なった。試料中には内部標準としてシリコンゴム(テトラメチルシラン(TMS)基準で-22.0ppmとした。)を加えた。

3. Si/Al₂比の異なるNaおよびH型ゼオライトの²⁹Si NMRスペクトルを構造別にFig. 1および2に示した。またガウス型の線形を仮定して波形分離を行なった場合の共鳴線の位置、相対強度およびSi/Al₂比をTable 1にまとめた。ガウス型の線形を仮定することによりスペクトルをよく再現できた。

NMR法によるSi/Al₂比はLoewenstein則を仮定することにより次式より求めることができる。

$$[\text{Si}/\text{Al}_2]_{\text{NMR}} = \left(\sum_{N=0}^4 I[\text{Si}(N)] / \sum_{N=0}^4 (N * I[\text{Si}(N)] / 4) \right) * 2.$$

ここでI[Si(N)]はN個の(OAl)と(4-N)個の(OSi)に配位されたSi原子に由来する共鳴線の強度である。

ホウジャサイト型(Y型)ゼオライトの高分解能²⁹Si NMRスペクトルをFig. 1に示したが、JRC HY-4.8は3本、それ以外は4本の共鳴線が観測された。Lippmaaらの結果およびホウジャサイト型ゼオライトには結晶学的にTサイト(ゼオライトを構成するT-O4四面体の中心原子でSiあるいはAlが占めるサイト)は一種類しか存在しないことを考慮すると、Table 1に示したように-89,-95,-100および-105ppm付近の共鳴線はそれぞれSi(3),Si(2),Si(1),Si(0)に帰属される。各ピークの強度から(1)式を用いてSi/Al₂比を計算するとY-4.8,Y-5.6,HY-5.6の3種類のゼオライトにおいては、触媒学会より示された化学分析値とほぼ一致した結果が得られたが、HY-4.8においては大きなくらい違いが見られた。HY-4.8についてX線回折を行なったがゼオライト構造は壊れておらず原因は別のところにあることが分かった。この原因としてはNa型をH型にイオン交換する過程におけるゼオライト骨格か

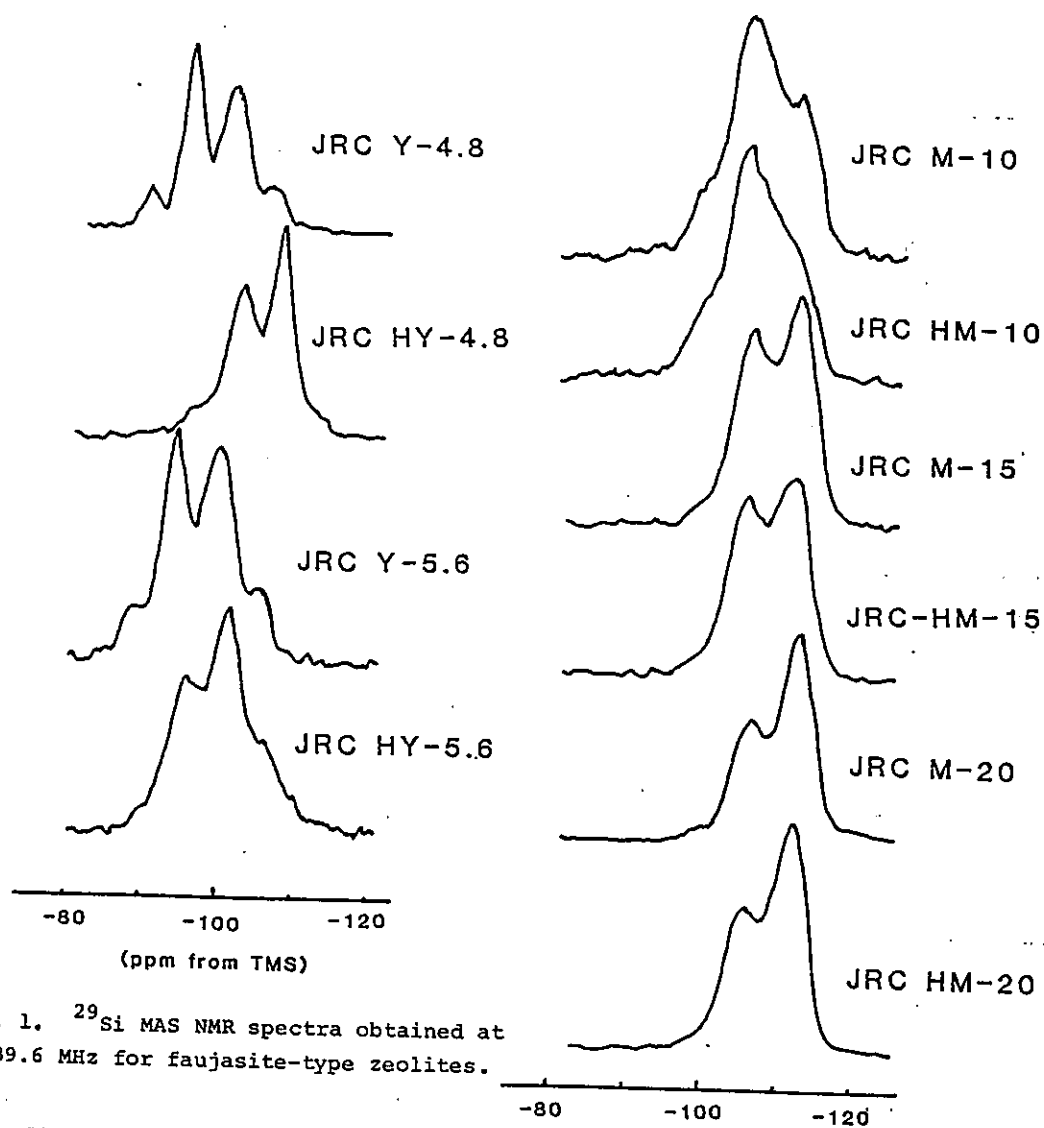


Fig. 1. ^{29}Si MAS NMR spectra obtained at 39.6 MHz for faujasite-type zeolites.

らの脱アルミニウムが考えられる。即ち骨格の Si/Al_2 比はNMRから得られたような高い値となるが、化学分析では遊離した Al を含めた平均組成が観測されるためイオン交換前とほぼ同じ値を示す。このことは固体高分解能 ^{27}Al NMRスペクルの測定をすれば明らかになると考えられる。

骨格の Si/Al_2 比の低い試料ほど同じ $\text{Si}(N)$ ピークでも低磁場側にシフトする傾向がみられたが、これは最近接よりさらに遠くにある Al の影響と考えられる。

Figure 2にモルデナイト型ゼオライトの ^{29}Si NMRスペクトルを示した。モルデナイト型ゼオライトではいずれの試料においても3本の共鳴線が観測された。モルデナイトには結晶学的に非等価なTサイトが4種類あるが、その非等価性による化学シフトの差は2.8 ppm以内であり、本研究では線幅のなかに

Table I. ^{29}Si NMR Data for a series of faujasite-type and mordenite-type zeolites

Sample	Si/Al ₂		^{29}Si NMR chemical shifts** (Relative Intensities%)					
	chemical analysis	NMR	N*	4	3	2	1	0
JRC Y-4.8	4.8	5.6	-	-88.7(6.7)	-93.9(38.0)	-99.4(46.6)	-104.9(8.7)	
JRC HY-4.8	5.2	11.8	-	-	-96.0(10.6)	-101.7(46.8)	-106.9(42.6)	
JRC Y-5.6	5.6	6.0	-	-88.9(4.4)	-93.8(33.9)	-99.6(51.8)	-105.5(9.9)	
JRC HY-5.6	5.6	6.8	-	-89.8(1.2)	-95.6(38.7)	-100.8(37.4)	-105.7(3.6)	
JRC M-10	9.8	9.9	-	-	-98.2(5.1)	-105.3(71.0)	-112.2(23.9)	
JRC HM-10	9.9	11.9	-	-	-98.3(9.6)	-104.0(48.1)	-109.9(42.3)	
JRC M-15	15.0	13.9	-	-	-98.7(1.8)	-105.9(54.0)	-112.3(44.2)	
JRC HM-15	14.9	14.4	-	-	-98.3(3.1)	-105.4(49.2)	-111.7(47.7)	
JRC M-20	20.1	17.2	-	-	-98.6(2.2)	-105.8(42.0)	-112.4(55.8)	
JRC HM-20	19.9	17.0	-	-	-98.8(2.2)	-105.7(42.5)	-112.1(55.3)	

* N corresponds to the number of Al neighbors.

** Chemical shifts referred to TMS

隠れてしまい異なったピークとして現われていない。従って-98,-105および-112 ppm付近の共鳴線はそれぞれSi(2),Si(1),Si(0)に帰属される。これらのシフト値はホウジャサイトの対応する共鳴線に比べて高磁場側にシフトしているが、これは前述した Si / Al₂ 比の違いおよび結晶構造の違いによるものと考えられる。M-10ではイオン交換することによりNMRスペクトルに変化が見られたが、M-15およびM-20ではほとんど変化しなかった。

以上述べて来たように固体高分解能 ^{29}Si NMRはX線回折では分からないゼオライトの原子オーダーでの構造を知るために非常に有用な手段といえる。また本研究では ^1H 核デカップリングを行ない Si 原子近傍にある OH基や H₂O の影響を除去したが、 ^1H 核とカップリングしたスペクトルを測定することにより、OH基や H₂O に関する情報を得ることも可能である。さらに ^{29}Si だけでなくゼオライトを構成する他の核種たとえば ^{27}Al , ^{23}Na などの測定も可能であり、骨格構造だけでなく遊離イオンの挙動についても情報が得られると期待される。³⁾

1) E.Lippmaa, M.Magi, A.Samoson, M.Tarmak, and G.Engelhardt, J. Am. Chem. Soc., 103,(1983)

4992.

2) J.M.Thomas, J.Klinowski, S.Ramdas, B.K.Hunter, and D.T.B.Tennakoon, Chem. Phys. Lett., 102 (1983) 153.

3) D.W.Sindorf and G.E.Mciel, J. Am. Chem. Soc., 105,(1983) 1487.

13. 固体高分解能NMRとFT-IRの測定

千代田化工建設・総合研究所

○中田真一、相馬幹雄、浅間佐知夫

1. 緒 言

固体高分解能NMRを用いて、合成ゼオライトの化学構造解析を行った。対象とした試料は、 $\text{SiO}_2/\text{Al}_2\text{O}_3$ 比の異なるプロトン交換前後のY型ゼオライトおよびモルデナイトである。 ^{29}Si -MAS(Magic Angle Spinning)NMRにより、ゼオライト骨格中の $(\text{SiO}_4)^{4-}$ に隣接する4個の四面体(T_{O_4} : T = Si, Al)の存在割合を求め、骨格に関するSi/Al原子比を算出した。また ^{27}Al -MASNMRで、ゼオライト骨格に組み込まれている正四面体(tetrahedral)構造のAl siteに着目し、その解離型構造のAl siteの混在の有無を確認した。それらのNMRスペクルが、プロトン交換操作に伴い、どのように変わるとかを検討し、それから考えられるゼオライト骨格構造の変化を考察した。

また、拡散反射法によるFT-IRの測定も行い、ゼオライト骨格の結合様式の変化に対し検討を加えた。

2. 試 料

^{29}Si -、 ^{27}Al -MASNMRの測定に供試した試料は、次の10種類である。(1) Y型ゼオライト(JRC-Z-Y5.2, JRC-Z-Y5.6, JRC-Z-HY5.2, JRC-Z-HY5.6) (2) モルデナイト(JRC-Z-M10, JRC-Z-M15, JRC-Z-M20, JRC-Z-HM10, JRC-HM15, JRC-Z-HM20)ここでHY及びHMは、プロトン交換後のY型ゼオライト、モルデナイトを指す。なお、本予稿では、試料名を例えばJRC-Z-Y5.2をY5.2と簡略化させる。

3. 測定方法

^{29}Si -、 ^{27}Al -MASNMRの測定は、JEOL JNM-GX270 FTNMRに、固体高分解能ユニット(SH-270MU)を取り付けたシステムによった。いずれも、Gated Decoupling法を用いた。

それぞれの測定条件を以下に示す。

3.1 ^{29}Si -MASNMR

観測周波数: 53.54 MHz, データポイント数: 8192, 観測スペクトル幅: 20000 Hz, 積算回数: 700~1300, パルス角: 45°(5.3 μsec), パルス繰り返し時間: 5 sec, 外部基準物質: テトラメチルシラン(TMS)。また、測定された各 ^{29}Si -MASNMRスペクトルをComputer Simulationにより、波形解離を施し、ガウス型成分に分割した。波形解離の例として、Fig.1にY5.2とHM20の ^{29}Si -MASNMRスペクトルを示す。

オリジナルの波形と、分割成分の再合成波形が極めて良く一致していることがわかる。

3.2 ^{27}Al -MASNMR

観測周波数: 70.26 MHz, データポイント数: 8192, 観測スペクトル幅: 50000 Hz, 積算回数: 100(ただし、HY5.2は10000, HY5.6は400), パルス角: 45°(4.5 μsec), パルス繰り返し時間: 5 sec, 外部基準物質: $\text{Al}(\text{H}_2\text{O})_6 \cdot \text{Cl}_3$

3.3 FT-IR

FT-IRは、JEOL JIR100を用い、拡散反射法で測定した。試料は粉末のまま、KBrで10 wt%に希釈し、窒素気流中 室温で測定した。分解能は 4 cm^{-1} とし、500回の積算を行った。

なかたしんいち、 そうまみきお、 あさおかさちお

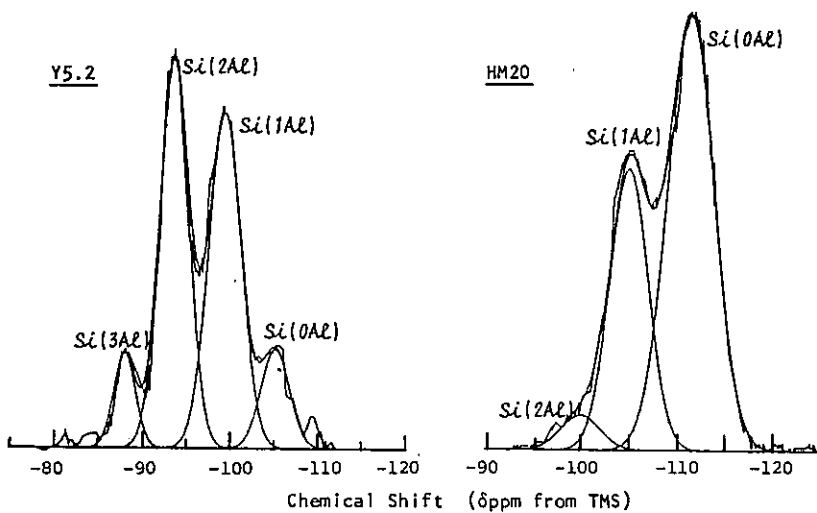


Fig.1 Examples of Curve-Resolved ^{29}Si -MASNMR Spectra

4. 結果と考察

4.1 Y型ゼオライト

a) ^{29}Si -MASNMR

Fig.2 に、4種類のY型ゼオライトの ^{29}Si -MASNMRスペクトルを示す。一般にアルミニノ珪酸塩から成るゼオライトは、Siを核に考えると $\text{Si}(n\text{Al})$ ($n = 0 \sim 4$)で表される5通りの配位形態があるが、Y型ゼオライトに関しては、その ^{29}Si -MASNMRは、Fig.2 にも示す如く $\text{Si}(0\text{Al}) \sim \text{Si}(3\text{Al})$ の4通りの配位形態に帰属される共鳴吸収ピークから成る。そして、 Si/Al 比の変化に伴い各ピーク強度比が変わることが知られている。

Fig.2 の各スペクトルについて、各配位形態への

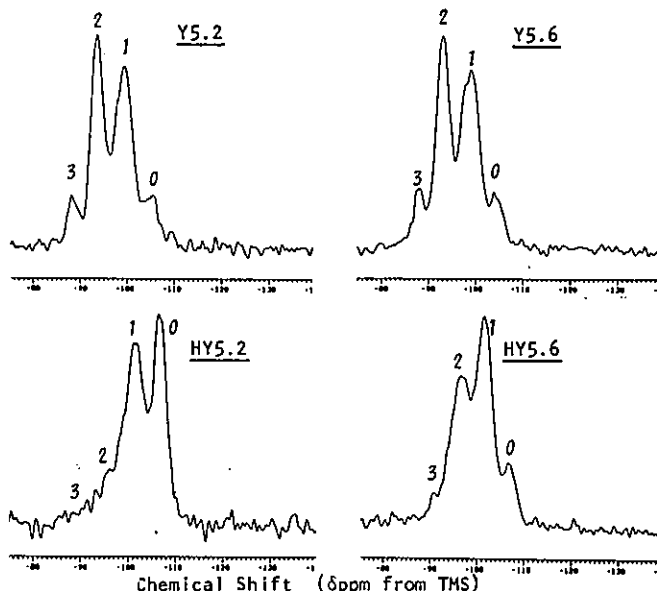


Fig.2 ^{29}Si -MASNMR Spectra of Y-Zeolites. $\text{Si}(n\text{Al})$ peaks are identified by the n above the peak.

帰属を行なった結果がTable 1 である。表中、() で示した化学シフト値は、スペクトル上は、必ずしも顕著なピークとしては現れていないが、波形解離処理で分割された成分ピークの中心値を表す。そして、Table 1 の帰属に基づき各スペクトルを波形解離し、それから得られる面積比から Si/Al 原子比 : $(\text{Si}/\text{Al})_{\text{nmr}}$ を次式により算出した。

$$(\text{Si}/\text{Al})_{\text{nmr}} = \frac{\sum_{n=0}^4 A_{\text{Si}(n\text{Al})}}{\sum_{n=0}^4 0.25n A_{\text{Si}(n\text{Al})}}$$

Table I ^{29}Si Isotropic Chemical Shifts in Y-Zeolites

zeolite	^{29}Si chemical shift (δ ppm from THS)				
	Si(4Al) ^a	Si(3Al)	Si(2Al)	Si(1Al)	Si(OAl)
Y5.2	-	-88.3 ^c	-94.1 ^b	-99.9 ^b	-105.8 ^c
HY5.2	-	(-92.2) ^d	(-96.5) ^d	-101.5 ^b	-106.8 ^b
Y5.6	-	-88.5 ^c	-93.8 ^b	-99.6 ^b	-104.2 ^c
HY5.6	-	-90.8 ^c	-96.8 ^b	-101.8 ^b	-106.8 ^c

a. Si(nAl) designates the SiO_4 tetrahedron connected through shared oxygen atoms with nAl O_4 tetrahedra in the zeolite framework.

b. Signal of high intensity.

c. Signal of low intensity.

d. Center position of resolved curve by computer simulation.

Table 2 ^{29}Si -MASNMR Peak Area in Y-Zeolites, Together with Si/Al Atomic Ratios

zeolite	(Si/Al) _{ref}	normalized peak area ($\sum_{n=0}^4 \text{Si}(n\text{Al}) = 100$)					(Si/Al) _{nmr}
		Si(4Al)	Si(3Al)	Si(2Al)	Si(1Al)	Si(OAl)	
Y5.2	2.6	-	7.5	42.0	40.1	10.4	2.7
HY5.2	2.6	-	4.9	11.2	45.6	38.3	4.8
Y5.6	2.8	-	9.0	37.5	43.7	9.8	2.7
HY5.6	2.8	-	5.0	36.6	46.9	11.5	3.0

a. Given by JRC.

b. Determined from the ^{29}Si -MASNMR spectra.

結果をTable 3 に示す。表中(Si/Al)ref.が、触媒学会参考触媒委員会より与えられた元素分析値であり、試料全体をカバーするSi/Al 原子比を表すのに対し、(Si/Al)_{nmr}は、ゼオライト骨格に関するSi/Al 原子比を表す。Table 2 より、プロトン交換前のY5.2, Y5.6両試料は、(Si/Al)ref と(Si/Al)_{nmr}が大略一致するが、プロトン交換後のHY5.2 とHY5.6 では、(Si/Al)ref < (Si/Al)_{nmr}となっている。その傾向は、 $\text{SiO}_2/\text{Al}_2\text{O}_3$ 比の低いHY5.2において顕著である。このことからY5.2では、のプロトン交換操作に伴い、ゼオライト骨格のSi/Al 比が高くなつたことを意味する。

b) ^{27}Al -MASNMR

ゼオライトの骨格にはLoewenstein 則²⁾のため、Al(4Si) 型のAlしか存在しないので、骨格のAl (tetrahedral site)に起因する ^{27}Al -MASNMR ピークは一本しか現れない。したがって ^{27}Al -MASNMR からはAl原子に関する配位状態についての情報が得られるが、 ^{29}Si -MASNMR とは異なり、ゼオライト骨格のSiとAlのコンフィギュレーションに関しては、Loewenstein 則を確認するにとどまる。しかし、 ^{27}Al は核スピンが5/2 の100% isotropic abundanceであり、かつスピ-格子緩和時間(T_1)が短いので、 ^{27}Al の共鳴吸収は非常に感度が良く、微量のAlでも検出できる特徴がある。

Fig.3 には、4種類のY型ゼオライトの ^{27}Al -MASNMR スペクトルを示す。図中、t で示されるピークは、Alが4配位状態でしかもゼオライト骨格に組み込まれている正四面体(tetrahedral)構造(通常 δ 51.5~65.0 ppmに共鳴吸収される。)であり、n は、 $\text{Na}^+(\text{Al} \cdot \text{Cl}_4)^-$ などの解離型正四面体構造のAlに起因するピーク(通常 δ 100 ppm 近辺に共鳴吸収される。)である。また、 δ 0 ppm 近辺には、o で示される6配位状態の解離型正八面体(octahedral)構造に起因するピークが現れる。Table 3 には、 ^{27}Al 化学シフトの各配位状態への帰属結果を示す。Fig.3において、プロトン交換前のY5.2とY5.6のスペクトルは、t に帰属される ^{27}Al ピークから成り、n がわずかに混在する程度である。したがって、Y5.2, Y5.6ともAlは、ゼオライト骨格の正四面体構造(t)に起因している。また、ゼオライト結晶性の目安としてのライン幅($\Delta \nu$ 1/2)は、Y5.2で1126 Hz, Y5.6 で845 Hzとなっており、Y5.2の方が、やや結晶性が良い。

Y5.2とY5.6をプロトン交換したものが、HY5.2 とHY5.6 であるが、その ^{27}Al -MASNMR スペクトルは、Fig.3にみられるように、極端に幅広いものに変化している。これは、Alが結合に関与しているゼオライトの骨格構造部分が、崩れたことによるといえる。スペクトル上、t に帰属されるピークのライン幅が、HY5.2 で1150 Hz, HY5.6で1436 Hz とかなり広くなっているとともにn, o で表される解離型のAlに起因するピークがかなりの割合で現れている。さらにHY5.2 では、t とo のピークの ^{27}Al 化学シフト値の中間の位置にも、共鳴吸収を示し、中間体的構造が存在すると思われる。

a), b) の結果から、Y5.2, Y5.6のプロトン交換操作に伴い、ゼオライト骨格中のAlが解(脱)離し、その結果として骨格に関するSi/Al 比が上がり、骨格外のAl濃度が増えたものと考えられる。そしてこの傾向は、 $\text{SiO}_2/\text{Al}_2\text{O}_3$ 比のより低いY5.2の変化において著しい。

4.2 モルデナイト

a) ^{29}Si -MASNMR

Fig.4 に6種類のモルデナイトの ^{29}Si -MASNMR スペクトルを示し、Table 4 には、各配位形態への帰属結果を示す。M10, M15, M20 がプロトン交換前(Na型)、HM10, HM15, HM20がプロトン交換後のモルデナイトである。いずれのスペクトルもSi(OAl) とSi(1Al) に帰属されるメインピークから成り、Si(2Al) のピークがわずかに認められる。それぞれのスペクトルをFig.1 に例示したようにガウス型波形解離を施し、各配位形態に基づくピークごとに面積比を算出した

(Table 5)。M10 → M20と
 $\text{SiO}_2/\text{Al}_2\text{O}_3$ 比が変わると、Si
(OAI)のピーク面積割合が大きくなり、Si(2Al), Si(1Al)
のピーク面積割合が小さくなっている。

HM10 → HM20において同じ傾向である。また(Si/Al)n_{mr}を求めるとき、M20とHM20でわずかに(Si/Al)ref > (Si/Al)n_{mr}の傾向があるほかは、(Si/Al)refと(Si/Al)n_{mr}は良い一致をみている。したがって、このプロトン交換操作によってモルデナイトの骨格のSi-O-Alに関しては、構造的変化がないことがわかる。

b) ^{27}Al -MASNMR

Fig.5には、6種類のモルデナイトの ^{27}Al -MASNMRスペクトルを示す。またTable 6には、 ^{27}Al 化学シフトの各配位状態への帰属結果を示す。プロトン交換操作に伴い、oで表される解離型正八面体(octahedral)構造(ゼオライト格子より外れたhydrolyzed speciesなどが考えられる。)に起因するピークがわずかに認められる。またプロトン交換操作で、ゼオライト結晶性の目安としてのtのピークのライン幅($\Delta\nu/2$)がいずれのモルデナイトにおいてもやや大きくなってしまっておりその ^{27}Al 化学シフト値が高磁場側に移行している。しかし、それらの変化はわずかであり、ゼオライト骨格中のAl(tetrahedral site)についてほとんど変化はないといえる。

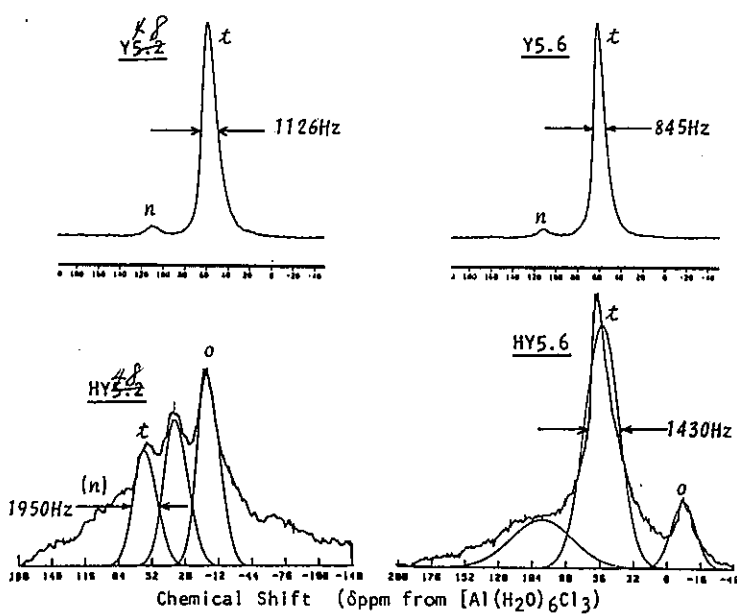


Fig.3 ^{27}Al -HASNMR Spectra of Y-Zeolites

Table 3 ^{27}Al Isotropic Chemical Shifts in Y-Zeolites

zeolite	$(\text{Si}/\text{Al})_{\text{ref}}$ ^a	^{27}Al chemical shift (δ ppm from $[\text{Al}(\text{H}_2\text{O})_6]\text{Cl}_3$)				
		^b n	^c t	^d o	^d unknown	unknown
Y5.2	2.7		110.5 (1126) ^e	57.9	-	-
HY5.2	4.8		104	54.5 (1950) ^f	-3.0	-29.0, -66.6
Y5.6	2.7		110.6	59.5 (845)	-	-
HY5.6	3.0		97.0	57.4 (1430)	-3.5	-

d. Determined by ^{29}Si -MASNMR spectra.

b. Tetrahedrally coordinated Al out of the zeolitic frameworks.

c. Tetrahedrally coordinated Al in the zeolitic frameworks.

e. $\Delta\nu/2$ [Hz]: The width at half-height of a spectral line in the "t".

f. Calculated from curve-resolved peak.

a), b) の結果から、M10, M15, M20のモルデナイトのプロトン交換操作では、4.1 のY型ゼオライトの場合とは異なり、ゼオライトの骨格構造のSi-O-Al orderingに関して質的、量的変化はないことがわかった。

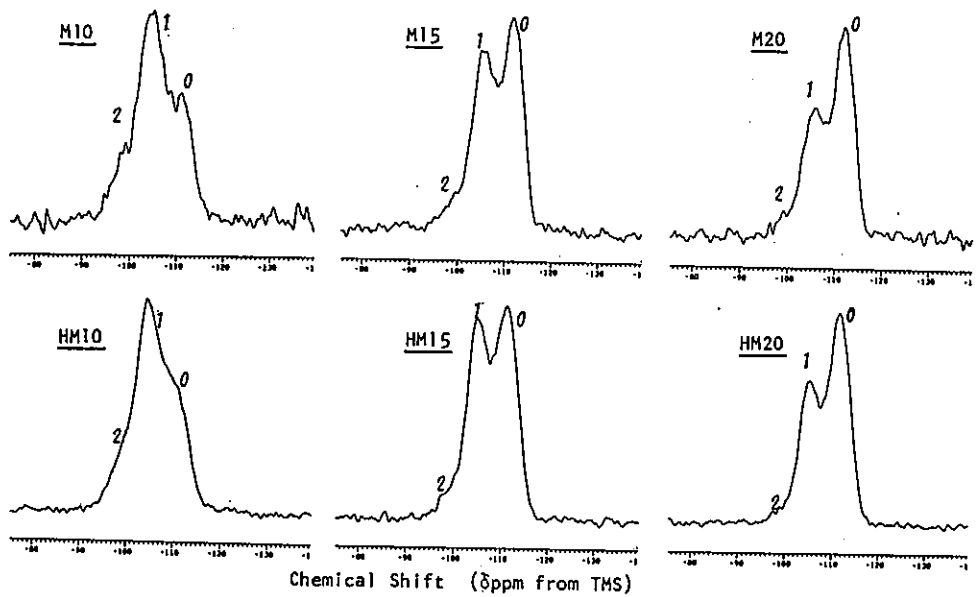


Fig.4 ^{29}Si -MASNMR Spectra of Mordenites. Si($n\text{Al}$) peaks are identified by the n above the peak.

Table 4 ^{29}Si Isotropic Chemical Shifts in Mordenites

zeolite	^{29}Si chemical shift (δ ppm from TMS)				
	Si(4Al)	Si(3Al)	Si(2Al)	Si(1Al)	Si(0Al)
M10	-	-	(-97.8) ^d	-105.5 ^b	-111.6 ^c
HM10	-	-	(-97.8) ^d	-104.2 ^b	-110.7 ^c
M15	-	-	(-99.8) ^d	-105.1 ^b	-111.9 ^b
HM15	-	-	(-98.7) ^d	-105.0 ^b	-111.3 ^b
M20	-	-	(-98.9) ^d	-106.1 ^c	-112.2 ^b
HM20	-	-	(-99.9) ^d	-105.3 ^c	-112.0 ^c

a. Si($n\text{Al}$) designates the SiO_4 tetrahedron connected through shared oxygen atoms with $n\text{AlO}_4$ tetrahedra in the zeolite framework.

b. Signal of high intensity.

c. Signal of low intensity.

d. Center position of resolved curve by computer simulation.

Table 5 ^{29}Si -MASNMR Peak Area in Mordenites, Together with Si/Al Atomic Ratio

zeolite	$(\text{Si}/\text{Al})_{\text{ref}}^a$	normalized peak area ($\sum_{n=0}^4 \text{Asi}(n\text{Al}) = 100$)					$(\text{Si}/\text{Al})_{\text{imp}}^b$
		Si(4Al)	Si(3Al)	Si(2Al)	Si(1Al)	Si(0Al)	
M10	4.8	-	-	9.5	64.6	25.9	4.8
HM10	4.95	-	-	10.3	60.0	29.7	5.0
M15	7.5	-	-	6.0	41.7	52.3	7.5
HM15	7.45	-	-	4.1	45.2	50.7	7.5
M20	10.05	-	-	2.9	37.4	59.7	9.2
HM20	9.95	-	-	4.1	33.4	62.5	9.6

a. Given by JRC.

b. Determined from the ^{29}Si -MASNMR spectra.

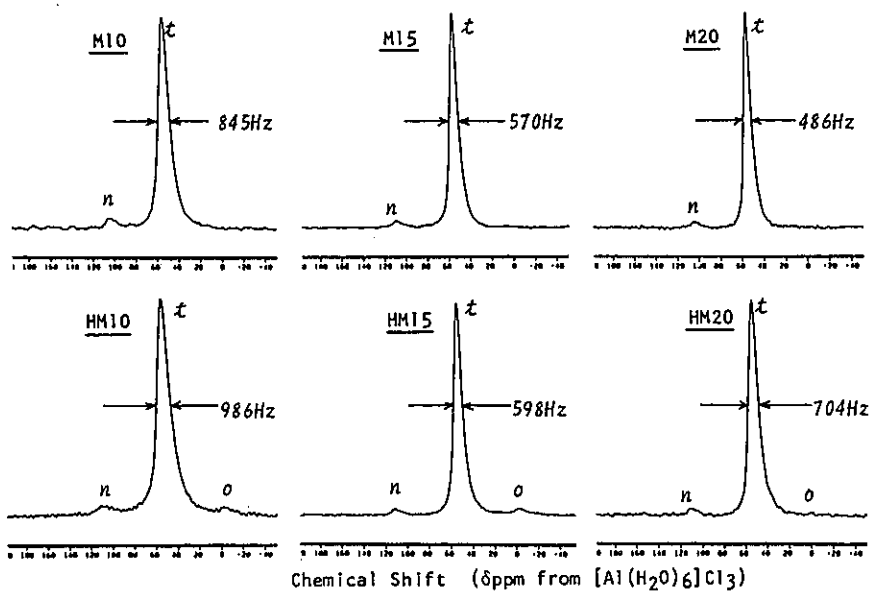


Fig. 5 ^{27}Al -MASNMR Spectra of Mordenites

4.3 FT-IR

FT-IR スペクトルを測定することによって、 ^{29}Si -、 ^{27}Al -MASNMR によって得られた知見に対し更に若干の検討を加えた。

Fig.6 に4種のY型ゼオライトと6種のモルデナイトのFT-IRスペクトルを示す。一般にゼオライトはその骨格構造に起因する吸収を 400 cm^{-1} ~ 1300 cm^{-1} 領域に数本与えるとされている。Fig.6 から明らかのようにプロトン交換前のY5.2, Y5.6, M10, M15, M20 (いずれもNa型) の5つのスペクトル間で、比較すると、ゼオライトの種類 $\text{SiO}_2/\text{Al}_2\text{O}_3$ 比によって有意差をもって変化している。また、プロトン交換操作によってのスペクトルの変化を、対応するゼオライトで検討すると、Y5.2がもっとも大きな変化を示す。(Y5.2とY5.6の差よりもY5.2とHY5.6の差が大きい)、またモルデナイトにおいても低 $\text{SiO}_2/\text{Al}_2\text{O}_3$ 比の試料においてはプロトン交換前後において差が生じているが、その差はオリジナルな $\text{SiO}_2/\text{Al}_2\text{O}_3$ 比の違いによる差よりも小さい。(M10とHM10の差はM10とM15の差よりも小さい。) これらのスペクトルの詳な帰属、解析は別の機会に委ねるものとするが、例えば、Y型ゼオライトにおける、 $650\text{ ~}720\text{ cm}^{-1}$ の吸収は internal tetrahedra の、 $800\text{ ~}850\text{ cm}^{-1}$ の吸収は external linkage のそれぞれの対称伸縮に帰属すると考えられる。

Table 6 ^{27}Al Isotropic Chemical Shifts in Mordenites

zeolite	$(\text{Si}/\text{Al})_{\text{unit}}$ ^a	^{27}Al chemical shift (δ ppm from $[\text{Al}(\text{H}_2\text{O})_6]\text{Cl}_3$)		
		n ^b	t ^c	o ^d
M10	4.8	105.1	53.9 (845) ^e	-
HM10	5.0	105.1	53.4 (986)	-2.8
M15	7.5	108.6	54.8 (570)	-
HM15	7.5	110.5	54.3 (598)	-1.7
M20	9.2	103.9	54.6 (486)	-
HM20	9.6	110.3	53.6 (704)	-1.8

a. Determined by ^{29}Si -MASNMR spectra.

b. Tetrahedrally coordinated Al out of the zeolitic frameworks.

c. Tetrahedrally coordinated Al in the zeolitic frameworks.

d. Octahedrally coordinated Al out of the zeolitic frameworks.

e. $\Delta\delta/2[\text{Hz}]$: The width at half-height of a spectral line in the "t".

5. 結 言

固体高分解能NMR を用いて、10種類の参照ゼオライト触媒のキャラクタリゼーションを行い、ミクロ構造の変化を検討した。 ^{29}Si -MASNMR スペクトルより、ゼオライト骨格中のSiを核とする各配位形態への帰属を行い、各面積比、(Si/Al)nmrを算出した。また、 ^{27}Al -MASNMR スペクトルでは、ゼオライト骨格中の正四面体(tetrahedral)構造のAlの共鳴吸収ピークに着目し、Al原子の質的、量的変化を検討した。その結果、3種の $\text{SiO}_2/\text{Al}_2\text{O}_3$ 比の異なるモルデナイトでは、プロト交換前後で、ゼオライト骨格にはほとんど変化は見られない。しかし、2種のY型ゼオライトでは、いずれもプロトン交換操作に伴いゼオライト骨格からAlが脱離しており、骨格に関するSi/Al 比が大きくなっていると推察される。そしてその傾向は、 $\text{SiO}_2/\text{Al}_2\text{O}_3$ 比の小さいY5.2において著しいことがわかった。

最後に、固体高分解能NMR およびFT-IR の測定する機会を与えていただいた触媒学会参照触媒委員会に謝意を表す。

参考文献

- 1) J.M. Thomas, J. Klinowski, S. Ramadas, M.W. Anderson, C.A. Pyfe and G.C. Gobbi, in "Inter-zeolite Chemistry", (ACS Symp. Ser. 218, 1983) p.159.
- 2) W. Loewenstein, Am. Mineral., 39, 92(1954).

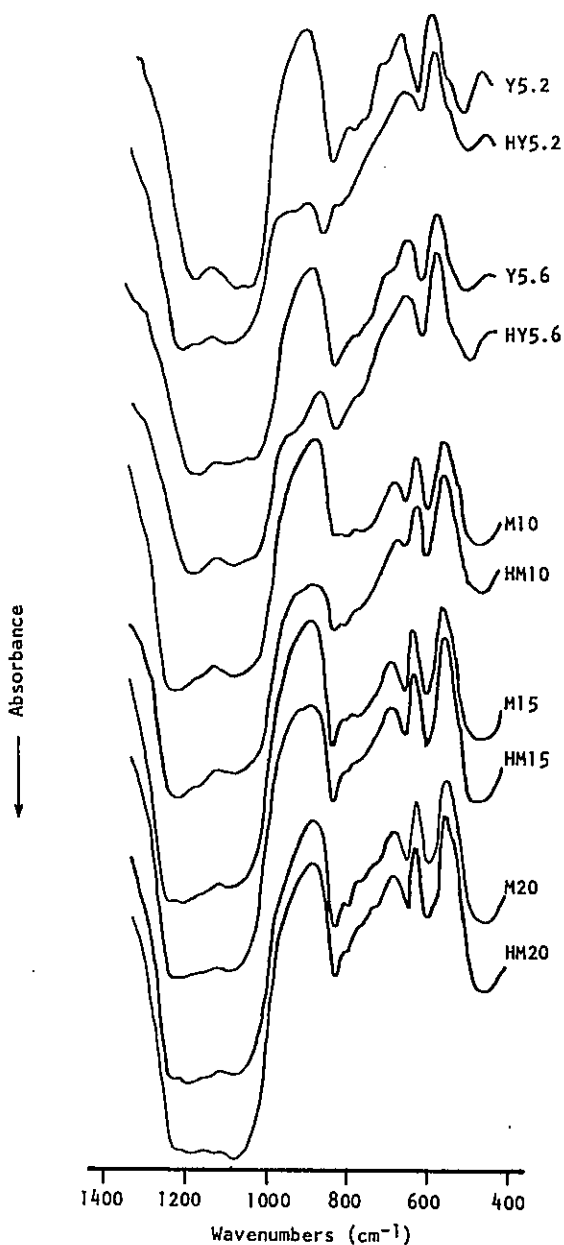


Fig.6 FT-IR Spectra of Y-Zeolites and Mordenites

14. リナロールの分解反応

(資生堂研究所)。福井 寛, 難波隆二郎, 中野幹清

香料成分の中には、酸点で变化するものがある。リナロールはその代表例であり、3級アルコールの脱水反応が非常に弱い酸点でも起り、その後異性化や環化が生じる。このためリナロールの分解を測定することによく弱い酸点の評価が可能である。

実験はパルス反応装置を用いた。反応は内径4mmの10°イレックス管に試料を5mg充填し, N_2 気流50ml/min, 反応温度/80°C, パルスサイズ0.3μlで行なった。

分析は島津GC-7Aを用い, カラムはキャビラリーカラム(PEG 20M, 25m, 0.31φ)を用いた。カラム温度は80°Cで4分ホールドし昇温速度5°C/minで220°Cまで昇温させFIDで検出した。

今回吸着量が多かったのでパルス回目のデータを用いた。

図-1にJRC-Z-HM10およびJRC-Z-M10のリナロール分解パターンを示した。

HM10は多くの分解物を与えるがM10はほとんどリナロールを分解させなかった。

リナロールの分解経路については図2のようであると考えられ、(1)から(9)の順序

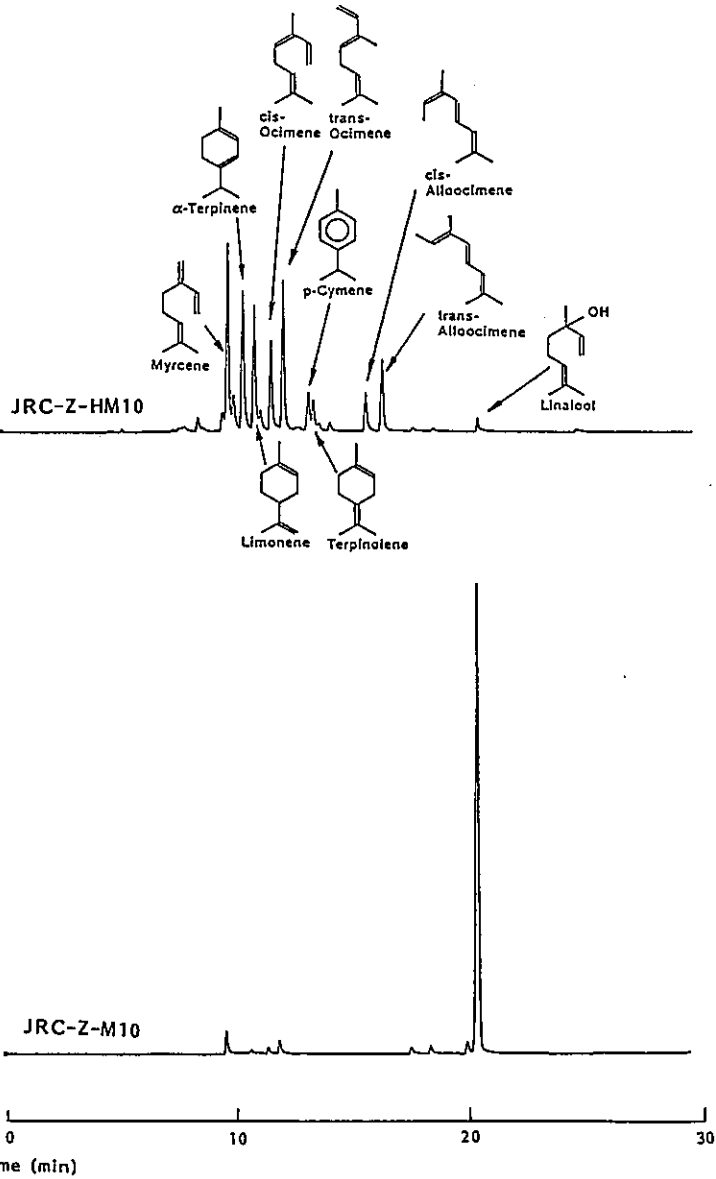


図-1. JRC-Z-HM10およびJRC-Z-M10のリナロール分解パターン

ふくいひろし、なんばりゅうじろう、なかのもときよ

で分解物が生成する。

M-10ではリナロールが脱水し簡単な異性体(1),(2),(3)が生じるのみであるが、HM-10では環化も起こり(10)までのものが生成する。

M-10よりHM-10の方が酸点の働きが大きいと思われる。

表-1に今回測定した試料の結果をまとめた。今回の試料は吸着量が多いためリナロール回収率とクロマトグラムにおける分解生成物のしめる割合との2つの値を示した。

Y-4.8およびY-5.6では回収率が低くまた分解生成物の面積も検出されていないため、吸着だけが起こっていると思われる。

Naタイプのものは吸着が多く分解物はほとんど生成しないが、Hタイプのものはリナロールをよく分解させた。生成物分布をみるとHYタイプよりHMタイプの方が反応が進行していると思われる。

(1) 福井, 難波, 藤山, 第52回触媒討論会要旨集 p-208 (1983).

表-1. リナロール分解と生成物分布

Sample	linalool recovery (%)	conv. area (%)	Product distribution (%)									
			(1)	(2)	(3)	(4)	(5)	(6)	(7)	(8)	(9)	(10)
JRC-Z-Y4.8	36.7	nd	nd	nd	nd	nd	nd	nd	nd	nd	nd	nd
JRC-Z-Y5.6	17.4	nd	nd	nd	nd	nd	nd	nd	nd	nd	nd	nd
JRC-Z-M10	52.2	9.6	58.3	nd	41.7	nd	nd	nd	nd	nd	nd	nd
JRC-Z-M15	84.4	nd	nd	nd	nd	nd	nd	nd	nd	nd	nd	nd
JRC-Z-N20	91.9	nd	nd	nd	nd	nd	nd	nd	nd	nd	nd	nd
JRC-Z-HY4.8	41.1	18.1	19.5	9.8	14.6	12.2	tr	nd	nd	nd	14.6	17.1
JRC-Z-HY5.6	62.2	17.5	30.6	13.9	25.0	19.4	11.1	nd	nd	nd	nd	nd
JRC-Z-HM10	1.9	98.7	18.4	10.4	16.8	14.0	16.0	4.8	8.8	3.2	4.8	2.8
JRC-Z-HM15	52.2	42.3	17.2	10.1	17.2	10.1	17.2	5.1	9.1	5.1	4.0	nd
JRC-Z-HM20	33.0	65.4	23.8	13.1	20.2	11.3	10.1	3.0	5.4	nd	4.2	nd
												8.9

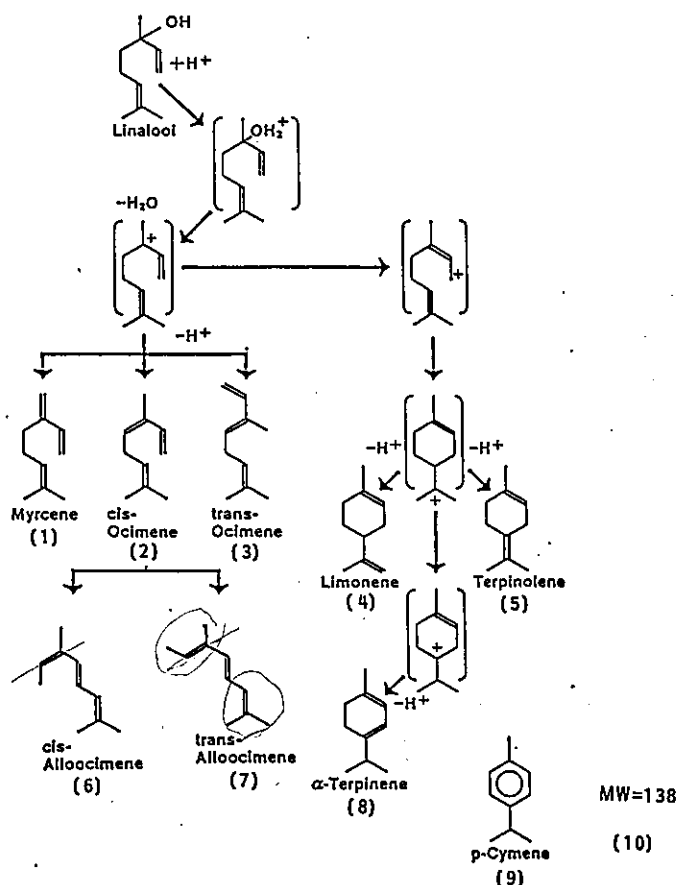


図-2. リナロールの分解経路¹³⁴

134

15. プロトン型ゼオライトによるエチレンの接触水和

(長崎大・工) ○岩本正和・田島政弘・鹿川修一

1. オレフィンの直接水和は、一般に酸性水溶液中で実施されているが、固体触媒による気相接触水和反応も工業化されている。後者ではリン酸担持触媒が使われている。しかし、現行の気相法は低温での平衡到達率が低いこと、反応中のリン酸の気化消失とそれに伴う活性低下、装置腐食等の問題をかかえている。本研究ではプロトン型ゼオライトを触媒とするエチレンの直接水和反応の可能性を検討した。

2. 実験

2.1 プロトン交換Y型およびモルデナイト型ゼオライトは参照触媒JRC-Z-HY4.8, JRC-Z-HM10を用いた。ZSM-5型およびフェリエライト型ゼオライトはいずれも東洋曹達製であり、硝酸水溶液 ($\text{pH}=3.0$) で直接プロトン交換後、あるいは NH_4^+ 交換後 400°C で2時間焼成し、触媒とした。いずれの試料も20~60メッシュに圧縮成形し、反応に用いた。

2.2 エチレンの水和反応は常圧固定床流通式反応装置で実施し、反応生成物の定性、定量は質量分析、およびガスクロを行った。反応条件は特にことわらない限り、触媒量 1.0 g, C_2H_4 流量 5.0 ml/min, H_2O 流量 5.0 ml/min, 反応温度 200°C とした。

3. 結果および考察

反応の経時変化を調べたところ、反応開始後1時間以内に定常活性に達し、反応時間10時間までは活性変化は認められなかった(10時間以上の長時間の実験は行っていない)。反応生成物としてはエタノールの他にアセトアルデヒド、アセトン、メチルエチルケトン、ごく微量のジエチルエーテル等が得られた。

種々のプロトン型ゼオライトの触媒能を表1にまとめた。活性序列はY ($\text{SiO}_2/\text{Al}_2\text{O}_3$ モル比=5.2) < モルデナイト (9.9) < フェリエライト (17.0) > ZSM-5 (23.3) となつ

表1. 種々のプロトン型ゼオライトによるエチレンの接触水和

触媒	プロトン交換率(%)	触媒量(g)	C_2H_4 転化率 ^{a)} (%)				平衡到達率(%)
			$\text{C}_2\text{H}_5\text{OH}$	CH_3CHO	CH_3COCH_3	$\text{CH}_3\text{COC}_2\text{H}_5$	
JRC-Z-HY 4.8	99	1.0	0.51	0.05	0.01	0.01	41.1
JRC-Z-HM 10	98	1.0	0.67	0.01	0.01	0	54.7
H-Ferrierite	94	0.5	0.99	0.01	0	0	80.2
H-ZSM-5	99	1.0	0.99 ± 0.08 ^{b)}	0.03 ± 0.02 ^{b)}	0.02 ± 0.01 ^{b)}	0.01	80.1 ± 6.0 ^{b)}
		1.0	0.31	0	0	0	25.4
K-Ferrierite なし	—	1.0	0.01	0	0.01	0	1.0
	—	—	0.09	0	0	0	7.5

a) 反応条件: $\text{C}_2\text{H}_4=5.0$ ml/min, $\text{H}_2\text{O}=5.0$ ml/min, 反応温度 $=200^\circ\text{C}$

b) 多数回の実験のバラつきの範囲を示す。

いわもとまさかず・たじまさひろ・かがわしゅういち

ており、フェリエライトが最も高活性であった。田部らはエチレン水和活性が大略A型×Y型であることを認めており¹⁾、本研究の前半の序列と矛盾しない。H-ZSM-5については今後更に検討したい。

H-フェリエライトの場合、触媒量を0.5gに減少させても、エチレン転化率は低下しない。また、カリウム型ではほとんど触媒活性が認められず、ゼオライト中のプロトンの存在が本触媒作用に重要であることがわかる。

H-フェリエライト上のエチレン接触水和反応の温度依存性を図1 Aに示した。100~250°Cではエタノールが主生成物であるが、高温ではアセトアルデヒド、アセトン等が主生成物となる。アセトアルデヒドはエタノールの脱水素により、アセトン等はエチレンの二量化生成物²⁾の反応により生じたのであろう。

標準自由エネルギー変化から熱力学的平衡定数を求め、本実験条件下でのエチレン→エタノールの平衡転化率を図1 Bに、平衡到達率を表1に示した。計算値と実験値は200°C以上でほぼ一致しており、H-フェリエライトがエチレン接触水和に高い触媒活性を示すことが明らかである。図1の結果から求めた反応の活性化エネルギーは11 kcal/molであった。百瀬、東らはジルコニウム-タンクス滕系複合酸化物がエチレンの接触水和に高活性を示し、その活性化エネルギーは30 kcal/molであることを認めている。³⁾

低圧時には活性を示した触媒が高圧では活性を示さない例⁴⁾、あるいは微少細孔を有する触媒では毛細管凝縮のため高圧で反応速度が低下する場合があること⁵⁾等が指摘されているので、今後は高圧下での反応も検討したい。

文献

- 新田、田部、服部、石油学会誌, 15, 113 (1972); K.Tanabe, M.Nitta, Bull. Japan Petrol. Inst., 14, 47 (1972).
- V.Bolis, J.C.Vedrine, P.van de Berg, J.P.Wolthuizen, E.G.Derouane, J.Chem. Soc., Faraday I, 76, 1606 (1980).
- H.Momose, K.Kusumoto, Y.Izumi, Y.Mizutani, J.Catal., 77, 23 (1982).
- 荻野、石油学会誌, 17, 166 (1974).
- H.Momose, K.Kusumoto, Y.Izumi, Y.Mizutani, J.Catal., 77, 554 (1982).

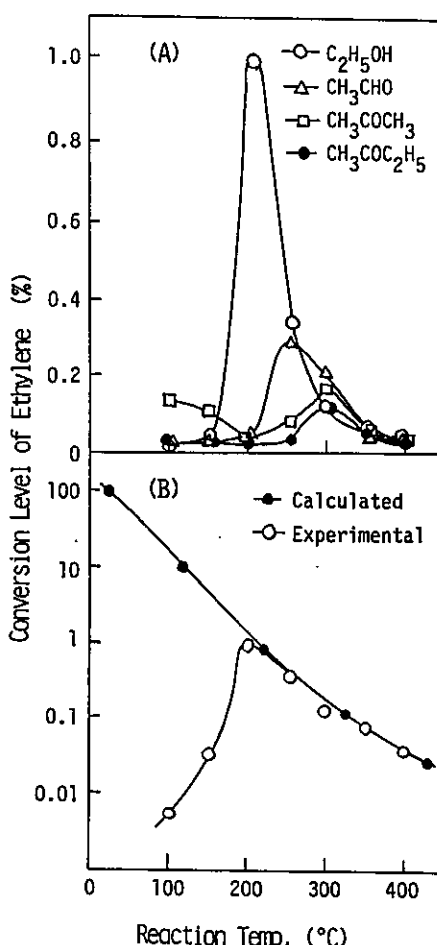


図1 アプロトン型フェリエライト
上のエチレンの接触水和

16. n-ペントンのクラッキングに対するゼオライトの触媒活性

(早大理工) ○菊地英一, 中野 博

1. 緒言

参照触媒を含む種々なゼオライトを用いてn-ペントンのクラッキングを行ない、ターンオーバー数と $\text{SiO}_2/\text{Al}_2\text{O}_3$ 比との相互関係について検討した。また脱アルミニウムの効果も検討した。

2. 実験方法

2-1 触媒

参照触媒以外のゼオライトは、1N-NH₄Cl-K溶液で80°C, 8時間、6回脱水を行ない、540°Cで2時間空気焼成し、プロトン型として触媒とした。一部モルデナイトは10N, 5N塩酸で2時間、Y型ゼオライトは0.1N塩酸で0.5時間、80°Cで脱アルミニウムした。 $\text{SiO}_2/\text{Al}_2\text{O}_3$ 比はホウ酸リチウムでゼオライトを熔融し、蛍光X線分析で測定した。

2-2 装置

反応は通常の固定床常圧流通反応器を用い、N₂をn-ペントン飽和器に通し、n-ペントン分圧0.2atmで行なった。触媒は32-80 meshに整粒し、反応前に空气中、500°C、1時間処理した。反応は450°C、n-ペントン分圧0.2atm(残りN₂)で行なった。活性劣化をともなうので、反応開始10分後の生成物を分析して、活性を比較した。クラッキング反応速度は、転化率10%以下の領域で次式より求めた。

$$r_0 = \frac{X}{(W/F)}$$

3. 結果と考察

Fig. 1に各触媒のターンオーバー数とAl含有量との関係を示した。ここでターンオーバー数はゼオライト中のプロトン酸点数あたりの反応初速度として定義した。またFig. 2には比較的低転化率(15%)において各ゼオライト上で生成した炭化水素の分布を選択率で示した。選択率は転化したn-ペントンあたりの生成物のモル数と定義した。各ゼオライトのターンオーバー数はゼオライトの細孔構造によらず、Al含有量で整理され、 $\text{SiO}_2/\text{Al}_2\text{O}_3$ 比とともに増加した。すなわちn-ペントンのクラッキング活

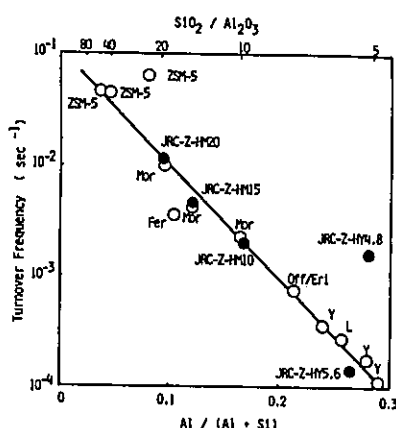


Fig. 1 Dependence of Turnover Frequency on Zeolite Composition
Mor:Mordenite, Fer:Ferrierite, Off/Erl:Offretite/Eronite
Reaction temperature: 450°C, n-Pentane/N₂:1/4 mol/mol.
After 10 min reaction.

○きくちえいいち、なかのひろし

性はbulkの $\text{SiO}_2/\text{Al}_2\text{O}_3$ 比で整理できることがわかる。

ところで、JRC-Z-HY4.8はこの関係から大きくはずれた。JRC-Z-HY4.8は7%ロトン交換の際脱アルミニウムされ、 $\text{SiO}_2/\text{Al}_2\text{O}_3$ 比は4.8から5.2へと増加している。この脱アルミニウムは局所的に行なわれているとすれば、Fig. 1の関係からはずれてくる。すなわち脱アルミニウムによりゼオライト中のアルミニウム分布は不均一となり、表面に $\text{SiO}_2/\text{Al}_2\text{O}_3$ 比の高い部分が生じ、高い活性を有する酸点が生成したと考えられる。そこでJRC-Z-HM20およびHYを塩酸を用いて脱アルミニウムし、その効果を調べた結果をTable. Iに示す。脱アルミニウムを行なうことによりどの触媒もターンオーバー数は増加した。

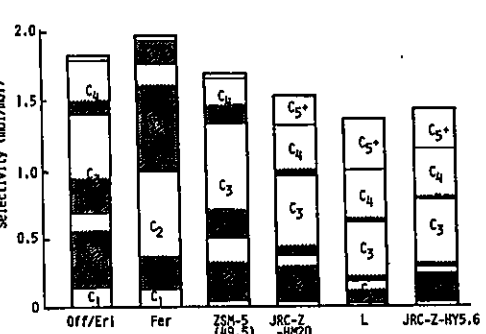


Fig. 2 Cracking Products of n-Pentane over Various Catalysts.
■ Olefin, Reaction temperature: 450°C, Conversion: 15%,
n-Pentane/H₂: 1/4 mol/mol, After 10 min reaction.

Table. I Effect of Dealumination on Turnover Frequency.

Catalysts	$\text{SiO}_2/\text{Al}_2\text{O}_3$	Turnover Frequency (sec^{-1})
JRC-Z-HM20	19.9	1.4×10^{-2}
5N-HCl-JRC-Z-HM20	54.2	1.6×10^{-2}
10N-HCl-JRC-Z-HM20	58.5	1.6×10^{-2}
HY	6.3	3.4×10^{-4}
0.1N-HCl-HY	17.0	2.8×10^{-3}

Reaction temperature: 450°C, n-Pentane/H₂: 1/4 (mol/mol),
After 10 min reaction.